



ГОСУДАРСТВЕННЫЙ СТАНДАРТ  
СОЮЗА ССР

**ПОЯСА ЗЕМЛИ РАДИАЦИОННЫЕ  
ЕСТЕСТВЕННЫЕ**

МОДЕЛЬ ПРОСТРАНСТВЕННО-ЭНЕРГЕТИЧЕСКОГО  
РАСПРЕДЕЛЕНИЯ ПЛОТНОСТИ ПОТОКА ПРОТОНОВ

**ГОСТ 25645.138—86**

Издание официальное

15 коп.



ГОСУДАРСТВЕННЫЙ КОМИТЕТ ССР ПО УПРАВЛЕНИЮ  
КАЧЕСТВОМ ПРОДУКЦИИ И СТАНДАРТАМ

Москва

**ПОЯСА ЗЕМЛИ РАДИАЦИОННЫЕ  
ЕСТЕСТВЕННЫЕ**

**ГОСТ**

**Модель пространственно-энергетического  
распределения плотности потока протонов**

**25645.138—86**

ОКСТУ 0080

Постановлением Государственного комитета СССР по стандартам от 31 марта 1986 г. № 844 срок введения установлен

с 01.07.87

1. Настоящий стандарт устанавливает модель пространственно-энергетического распределения плотности потока протонов с энергией  $10^2 \leq E \leq 10^6$  кэВ на дрейфовых оболочках с параметром  $1,2 \leq L < 6,6$  для индукции геомагнитного поля  $5 \cdot 10^{-7} \leq B \leq 3,8 \cdot 10^{-5}$  Тл в фазах минимума и максимума 11-летнего цикла солнечной активности (далее — 11-летнего цикла) в естественных радиационных поясах Земли (ЕРПЗ).

Стандарт предназначен для использования в расчетах радиационных условий полета космических аппаратов в околоземном пространстве.

2. В модели приведены всенаправленные, усредненные по периодам спокойных геомагнитных условий, значения плотности потока протонов.

За периоды спокойных геомагнитных условий приняты периоды, для которых планетарный суточный индекс геомагнитной активности  $A_p \leq 15$ .

3. Фазы 11-летнего цикла определяют по ГОСТ 25645.302—83.

4. Распределение захваченной радиации в околоземном пространстве представлено в геомагнитных  $L$ ,  $B$ -координатах, где  $L$  — параметр дрейфовой оболочки,  $B$  — индукция геомагнитного поля, Тл.

Метод расчета  $L$ ,  $B$ -координат приведен в приложении 1.

5. Энергетическое распределение плотности потока протонов с энергией больше  $E$  в точке пространства с геомагнитными координатами  $L$  и  $B$  вычисляют по формуле

$$\lg I = A_1 + A_2 (\lg E) + \dots + A_{n+1} (\lg E)^n, \quad (1)$$

где  $I$  — плотность потока протонов с энергией больше  $E$ ,  $\text{см}^{-2} \cdot \text{с}^{-1}$ ;

$A_1, A_2, \dots, A_{n+1}$  — коэффициенты, определяемые для ряда значений  $L, B$  и различных диапазонов энергий  $E$ ;

$n$  — степень аппроксимирующего полинома.

Значения коэффициентов  $A_1, A_2, \dots, A_{n+1}$  при  $n=5$  приведены в табл. 1 для фазы максимума и в табл. 2 — для фазы минимума 11-летнего цикла.

Примечание. Значения плотности потока протонов  $I$  на дрейфовых оболочках с параметром  $L > 3$  в фазах максимума и минимума 11-летнего цикла совпадают между собой. Для их вычисления используют коэффициенты, приведенные в табл. 2.

6. Пространственное распределение плотности потока протонов с энергией больше  $E$  в плоскости геомагнитного экватора вычисляют по формуле

$$\lg I = C_1 + C_2 L + \dots + C_{k+1} L^k, \quad (2)$$

где  $C_1, C_2, \dots, C_{k+1}$  — коэффициенты, определяемые для ряда значений энергий  $E$ ;

$k$  — степень аппроксимирующего полинома.

Значения коэффициентов  $C_1, C_2, \dots, C_{k+1}$  при  $k=4$  приведены в табл. 3 для фазы максимума и в табл. 4 — для фазы минимума 11-летнего цикла.

Примечание. Значения плотности потока протонов  $I$  на дрейфовых оболочках с параметром  $L > 3$  в фазах максимума и минимума 11-летнего цикла совпадают между собой. Для их вычисления используют коэффициенты, приведенные в табл. 4.

7. Погрешность вычисления  $\lg I$  по формулам (1) и (2) составляет  $\pm 0,5$ .

8. Для промежуточных значений энергий  $E$ , параметров  $L$  и  $B$ , для периодов между фазами максимума и минимума 11-летнего цикла значения плотности потока протонов вычисляют методом линейной интерполяции.

9. Данные для приближенных оценок энергетических и пространственных распределений плотности потока протонов приведены в приложении 2.

Таблица 1

Коэффициенты для расчета энергетического распределения  
плотности потока протонов в фазе максимума 11-летнего цикла  
солнечной активности

<i>L</i>	<i>E, кВ</i>	$\frac{A_i}{10^{-4} \text{ Гц}}$	<i>A<sub>1</sub></i>	<i>A<sub>2</sub></i>	<i>A<sub>3</sub></i>	<i>A<sub>4</sub></i>	<i>A<sub>5</sub></i>	<i>A<sub>6</sub></i>
1.2	$10^2 \div 4 \cdot 10^3$	0.18	2.1206 + 01	-3.0022 + 01	1.9787 + 01	-6.3388 + 00	9.8762 - 01	-6.0131 - 02
1.2	$10^2 \div 4 \cdot 10^3$	0.20	1.5527 + 01	-2.0799 + 01	1.3139 + 01	-4.0492 + 00	6.1018 - 01	3.6093 - 02
1.4	$10^2 \div 4 \cdot 10^3$	0.11	4.1914 + 01	-5.4729 + 01	3.1182 + 01	-8.5687 + 00	1.1433 + 00	5.9914 - 02
1.4	$10^2 \div 4 \cdot 10^3$	0.12	3.6341 + 01	-4.6552 + 01	2.7069 + 01	-7.5348 + 00	1.0191 + 00	5.4199 - 02
1.4	$10^2 \div 4 \cdot 10^3$	0.14	2.7547 + 01	-3.5415 + 01	2.1220 + 01	-6.1568 + 00	8.6893 - 01	4.8200 - 02
1.4	$10^2 \div 4 \cdot 10^3$	0.16	1.6114 + 01	-1.8584 + 01	1.1336 + 01	-3.3665 + 00	4.8980 - 01	2.8293 - 02
1.4	$10^2 \div 4 \cdot 10^3$	0.18	1.8761 + 01	-2.2893 + 01	1.3712 + 01	-4.0150 + 00	5.7909 - 01	3.3221 - 02
1.4	$10^2 \div 4 \cdot 10^3$	0.20	2.9541 + 01	-4.0371 + 01	2.4883 + 01	-7.3731 + 00	1.0670 + 00	6.0634 - 02
1.4	$10^2 \div 4 \cdot 10^3$	0.22	4.8908 + 01	-7.4654 + 01	4.6923 + 01	-1.4960 + 01	2.1388 + 00	1.2411 . 01
1.6	$10^2 \div 4 \cdot 10^3$	0.07	7.2932 + 01	-9.9764 + 01	5.7009 + 01	-1.5635 + 01	2.0664 + 00	-1.0642 . 01
1.6	$10^2 \div 4 \cdot 10^3$	0.08	9.6104 + 01	-1.3404 + 02	7.6433 + 01	-2.0931 + 01	2.7627 + 00	-1.4186 - 01
1.6	$10^2 \div 4 \cdot 10^3$	0.10	6.1203 + 01	-8.3037 + 01	4.7751 + 01	-1.3262 + 01	1.7802 + 00	-9.3547 - 02
1.6	$10^2 \div 4 \cdot 10^3$	0.12	8.3802 + 01	-1.1825 + 02	6.8253 + 01	-1.8694 + 01	2.5592 + 00	-1.3463 - 01
1.6	$10^2 \div 4 \cdot 10^3$	0.14	5.6229 + 01	-7.8560 + 01	4.6230 + 01	-1.3138 + 01	1.8099 + 00	-9.7554 - 02
1.6	$10^2 \div 4 \cdot 10^3$	0.16	1.9020 + 01	-2.3778 + 01	1.4984 + 01	-4.5424 + 00	6.6453 - 01	3.8125 - 02
1.6	$10^2 \div 4 \cdot 10^3$	0.18	6.2733 + 01	-8.9534 + 01	5.2745 + 01	-1.5050 + 01	2.0939 + 00	-1.1417 - 01
1.6	$10^2 \div 4 \cdot 10^3$	0.20	3.6774 + 01	-5.1989 + 01	3.1685 + 01	-9.3835 + 00	1.3550 + 00	-7.6867 . 02
1.6	$10^2 \div 4 \cdot 10^3$	0.22	4.3894 + 01	-6.4023 + 01	3.8976 + 01	-1.1574 + 01	1.6829 + 00	-9.6256 - 02
1.6	$10^2 \div 4 \cdot 10^3$	0.24	-1.7776 + 01	3.1542 + 01	-1.9539 + 01	5.8782 + 00	-8.5842 - 01	4.8598 - 02
1.8	$10^2 \div 4 \cdot 10^3$	0.05	1.1708 + 02	-1.6410 + 02	9.3495 + 01	-2.5539 + 01	3.3517 + 00	-1.7064 - 01
1.8	$10^2 \div 4 \cdot 10^3$	0.06	8.9472 + 01	-1.2421 + 02	7.1351 + 01	-1.9670 + 01	2.6070 + 00	-1.3424 - 01
1.8	$10^2 \div 4 \cdot 10^3$	0.08	1.1073 + 02	-1.5853 + 02	9.2250 + 01	-2.5816 + 01	3.4814 + 00	-1.8250 - 01
1.8	$10^2 \div 4 \cdot 10^3$	0.10	8.0342 + 01	-1.1147 + 02	6.4031 + 01	-1.7711 + 01	2.3643 + 00	-1.2310 - 01

## Продолжение табл. 1

<i>L</i>	<i>E</i> , кэВ	$\frac{B}{10^{-4} T_B}$	$A_1$	$A_2$	$A_3$	$A_4$	$A_5$	$A_6$
1.8	$10^3 \div 4 \cdot 10^4$	0.12	$8.5535 \pm 0.01$	$-1.1976 \pm 0.02$	$6.8861 \pm 0.01$	$-1.9108 \pm 0.01$	$2.5658 \pm 0.00$	$-1.3462 \pm 0.01$
1.8	$10^3 \div 4 \cdot 10^5$	0.14	$7.9869 \pm 0.01$	$-1.1369 \pm 0.02$	$6.6455 \pm 0.01$	$-1.8734 \pm 0.01$	$2.5554 \pm 0.00$	$-1.3602 \pm 0.01$
1.8	$10^3 \div 4 \cdot 10^6$	0.16	$5.5857 \pm 0.01$	$-7.8810 \pm 0.01$	$4.6729 \pm 0.01$	$-3.3699 \pm 0.01$	$1.8511 \pm 0.00$	$-1.0035 \pm 0.01$
1.8	$10^3 \div 2 \cdot 10^3$	0.18	$6.6666 \pm 0.01$	$-9.4777 \pm 0.01$	$5.5264 \pm 0.01$	$-1.5586 \pm 0.01$	$2.1389 \pm 0.00$	$-1.1551 \pm 0.01$
1.8	$10^3 \div 2 \cdot 10^4$	0.20	$6.1370 \pm 0.01$	$-8.9892 \pm 0.01$	$5.4314 \pm 0.01$	$-1.5913 \pm 0.01$	$2.2694 \pm 0.00$	$-1.2707 \pm 0.01$
1.8	$10^3 \div 2 \cdot 10^5$	0.22	$4.3611 \pm 0.01$	$-6.2628 \pm 0.01$	$3.7575 \pm 0.01$	$-1.0490 \pm 0.01$	$1.5772 \pm 0.00$	$-8.9695 \pm 0.02$
1.8	$10^3 \div 10^6$	0.24	$-3.5690 \pm 0.01$	$6.5946 \pm 0.01$	$-4.4822 \pm 0.01$	$1.4887 \pm 0.01$	$-2.4091 \pm 0.00$	$1.5115 \pm 0.01$
1.8	$10^3 \div 5 \cdot 10^4$	0.26	$6.5429 \pm 0.01$	$-1.0350 \pm 0.02$	$6.4442 \pm 0.01$	$-1.9519 \pm 0.01$	$2.8763 \pm 0.00$	$-1.6536 \pm 0.01$
2.0	$10^3 \div 4 \cdot 10^6$	0.039	$1.1840 \pm 0.02$	$-1.6589 \pm 0.02$	$9.5171 \pm 0.01$	$-2.6235 \pm 0.01$	$3.4754 \pm 0.00$	$-1.7868 \pm 0.01$
2.0	$10^3 \div 4 \cdot 10^9$	0.04	$1.2339 \pm 0.02$	$-1.7560 \pm 0.02$	$1.0156 \pm 0.02$	$-2.8129 \pm 0.01$	$3.7354 \pm 0.00$	$-1.9213 \pm 0.01$
2.0	$10^3 \div 4 \cdot 10^{10}$	0.06	$9.6433 \pm 0.01$	$-1.3361 \pm 0.02$	$7.8729 \pm 0.01$	$-2.1971 \pm 0.01$	$2.9478 \pm 0.00$	$-1.5371 \pm 0.01$
2.0	$10^3 \div 2 \cdot 10^3$	0.08	$8.0375 \pm 0.01$	$-1.1444 \pm 0.02$	$6.7653 \pm 0.01$	$-1.9180 \pm 0.01$	$2.6104 \pm 0.00$	$-1.3799 \pm 0.01$
2.0	$10^3 \div 2 \cdot 10^4$	0.10	$7.0278 \pm 0.01$	$-9.7944 \pm 0.01$	$5.7324 \pm 0.01$	$-1.6141 \pm 0.01$	$2.1864 \pm 0.00$	$-1.1541 \pm 0.01$
2.0	$10^3 \div 2 \cdot 10^5$	0.12	$7.3123 \pm 0.01$	$-1.0352 \pm 0.02$	$6.0937 \pm 0.01$	$-1.7235 \pm 0.01$	$2.3440 \pm 0.00$	$-1.2408 \pm 0.01$
2.0	$10^3 \div 2 \cdot 10^6$	0.14	$1.9646 \pm 0.02$	$-1.1386 \pm 0.02$	$-3.1869 \pm 0.02$	$4.3159 \pm 0.00$	$2.2789 \pm 0.01$	$-2.2789 \pm 0.01$
2.0	$10^3 \div 2 \cdot 10^8$	0.16	$8.2056 \pm 0.01$	$-1.1895 \pm 0.02$	$7.0864 \pm 0.01$	$-2.0182 \pm 0.01$	$2.7751 \pm 0.00$	$-1.4845 \pm 0.01$
2.0	$10^3 \div 2 \cdot 10^9$	0.18	$8.0114 \pm 0.01$	$-1.3391 \pm 0.02$	$6.6136 \pm 0.01$	$-1.8432 \pm 0.01$	$2.4703 \pm 0.00$	$-1.2879 \pm 0.01$
2.0	$10^3 \div 2 \cdot 10^{10}$	0.20	$5.9910 \pm 0.01$	$-8.6988 \pm 0.01$	$5.2703 \pm 0.01$	$-1.5394 \pm 0.01$	$2.1688 \pm 0.00$	$-1.1921 \pm 0.01$
2.0	$10^3 \div 2 \cdot 10^{12}$	0.22	$6.3650 \pm 0.01$	$-9.2887 \pm 0.01$	$5.5837 \pm 0.01$	$-1.6197 \pm 0.01$	$2.2712 \pm 0.00$	$-1.2447 \pm 0.01$
2.0	$10^3 \div 10^4$	0.24	$3.6422 \pm 0.01$	$-5.3282 \pm 0.01$	$3.2876 \pm 0.01$	$-9.8121 \pm 0.00$	$1.4292 \pm 0.00$	$-8.0766 \pm 0.02$
2.0	$10^3 \div 5 \cdot 10^4$	0.26	$3.0586 \pm 0.01$	$-4.8042 \pm 0.01$	$3.0221 \pm 0.01$	$-9.2011 \pm 0.00$	$1.3586 \pm 0.00$	$-7.8498 \pm 0.02$
2.2	$10^3 \div 2 \cdot 10^6$	0.029	$7.6360 \pm 0.01$	$-1.0064 \pm 0.02$	$5.6269 \pm 0.01$	$-1.4932 \pm 0.01$	$1.8664 \pm 0.00$	$-8.9031 \pm 0.02$
2.2	$10^3 \div 2 \cdot 10^7$	0.04	$6.2187 \pm 0.01$	$-8.5489 \pm 0.01$	$5.0577 \pm 0.01$	$-1.4200 \pm 0.01$	$1.8857 \pm 0.00$	$-9.6356 \pm 0.02$
2.2	$10^3 \div 2 \cdot 10^8$	0.06	$5.7628 \pm 0.01$	$-7.8074 \pm 0.01$	$4.6144 \pm 0.01$	$-1.3036 \pm 0.01$	$1.7531 \pm 0.00$	$-9.1246 \pm 0.02$
2.2	$10^3 \div 2 \cdot 10^9$	0.08	$7.8876 \pm 0.01$	$-1.1028 \pm 0.02$	$6.4451 \pm 0.01$	$-1.8077 \pm 0.01$	$2.4275 \pm 0.00$	$-1.2643 \pm 0.01$
2.2	$10^3 \div 2 \cdot 10^{10}$	0.10	$3.5257 \pm 0.01$	$-4.6795 \pm 0.01$	$2.8231 \pm 0.01$	$-8.1007 \pm 0.00$	$1.0976 \pm 0.00$	$-5.7582 \pm 0.02$
2.2	$10^3 \div 2 \cdot 10^{12}$	0.12	$4.2061 \pm 0.01$	$-5.5597 \pm 0.01$	$3.2789 \pm 0.01$	$-9.2347 \pm 0.00$	$1.2344 \pm 0.00$	$-6.3991 \pm 0.02$
2.2	$10^3 \div 10^5$	0.14	$4.3248 \pm 0.01$	$-5.7085 \pm 0.01$	$3.3362 \pm 0.01$	$-9.3219 \pm 0.00$	$1.2363 \pm 0.00$	$-6.3479 \pm 0.02$
2.2	$10^3 \div 5 \cdot 10^5$	0.16	$-1.5280 \pm 0.01$	$3.4696 \pm 0.01$	$-2.2627 \pm 0.01$	$7.2510 \pm 0.00$	$-1.1489 \pm 0.00$	$7.0384 \pm 0.02$

Продолжение табл. 1

<i>L</i>	<i>E</i> , кВ	$\frac{B_1}{10^3 \cdot T_B}$	<i>A</i> <sub>1</sub>	<i>A</i> <sub>2</sub>	<i>A</i> <sub>3</sub>	<i>A</i> <sub>4</sub>	<i>A</i> <sub>5</sub>	<i>A</i> <sub>6</sub>
2,2	$10^2 \div 10^5$	0,18	$4,7478 \pm 0$	$-6,4085 \pm 0$	$3,7660 \pm 0$	$-1,0587 \pm 0$	$1,4282 \pm 0$	$-7,5106 \pm 0$
2,2	$10^2 \div 10^5$	0,20	$4,3484 \pm 0$	$-5,9905 \pm 0$	$3,5993 \pm 0$	$-1,0399 \pm 0$	$1,4402 \pm 0$	$-7,7994 \pm 0$
2,2	$10^2 \div 10^5$	0,22	$3,9399 \pm 0$	$-5,2063 \pm 0$	$3,0046 \pm 0$	$-8,3096 \pm 0$	$1,0953 \pm 0$	$-5,6346 \pm 0$
2,2	$10^2 \div 10^5$	0,24	$-3,9015 \pm 0$	$7,2819 \pm 0$	$-4,8219 \pm 0$	$1,5641 \pm 0$	$-2,4908 \pm 0$	$1,5431 \pm 0$
2,2	$10^2 \div 2 \cdot 10^5$	0,26	$-5,0471 \pm 0$	$8,1590 \pm 0$	$-3,2852 \pm 0$	$5,6228 \pm 0$	$-3,9501 \pm 0$	$-$
2,4	$10^2 \div 10^5$	0,022	$-6,5610 \pm 0$	$2,2853 \pm 0$	$-1,4377 \pm 0$	$4,6654 \pm 0$	$-7,8845 \pm 0$	$5,1986 \pm 0$
2,4	$10^2 \div 10^5$	0,04	$9,8184 \pm 0$	$-1,4321 \pm 0$	$8,7194 \pm 0$	$-2,5556 \pm 0$	$5,5925 \pm 0$	$-1,9583 \pm 0$
2,4	$10^2 \div 10^5$	0,06	$1,8582 \pm 0$	$-1,9866 \pm 0$	$1,3083 \pm 0$	$-4,0612 \pm 0$	$5,7622 \pm 0$	$-3,1467 \pm 0$
2,4	$10^2 \div 10^5$	0,08	$4,7637 \pm 0$	$-6,5065 \pm 0$	$3,9893 \pm 0$	$-1,1733 \pm 0$	$1,6394 \pm 0$	$8,8668 \pm 0$
2,4	$10^2 \div 10^5$	0,10	$5,7130 \pm 0$	$-7,9022 \pm 0$	$4,7398 \pm 0$	$-1,3643 \pm 0$	$1,8724 \pm 0$	$-9,9675 \pm 0$
2,4	$10^2 \div 10^5$	0,12	$3,1822 \pm 0$	$-4,0445 \pm 0$	$2,4462 \pm 0$	$-7,1558 \pm 0$	$9,7924 \pm 0$	$-5,2071 \pm 0$
2,4	$10^2 \div 10^5$	0,14	$5,2088 \pm 0$	$-7,1752 \pm 0$	$4,3164 \pm 0$	$-1,2471 \pm 0$	$1,7166 \pm 0$	$-9,1646 \pm 0$
2,4	$10^2 \div 10^5$	0,16	$-1,0646 \pm 0$	$1,8030 \pm 0$	$-1,3255 \pm 0$	$3,4963 \pm 0$	$-5,3303 \pm 0$	$3,1952 \pm 0$
2,4	$10^2 \div 10^5$	0,18	$-4,6010 \pm 0$	$-6,2619 \pm 0$	$3,7441 \pm 0$	$-1,0718 \pm 0$	$1,4524 \pm 0$	$-7,5766 \pm 0$
2,4	$10^2 \div 10^5$	0,20	$9,0802 \pm 0$	$-1,3494 \pm 0$	$8,2557 \pm 0$	$-2,4453 \pm 0$	$3,4967 \pm 0$	$-1,9533 \pm 0$
2,4	$10^2 \div 10^5$	0,22	$4,8893 \pm 0$	$-7,0802 \pm 0$	$4,4281 \pm 0$	$-1,3365 \pm 0$	$1,9381 \pm 0$	$-1,1009 \pm 0$
2,4	$10^2 \div 10^5$	0,24	$2,9853 \pm 0$	$-4,3399 \pm 0$	$2,8664 \pm 0$	$-9,1265 \pm 0$	$1,3896 \pm 0$	$-8,2876 \pm 0$
2,4	$10^2 \div 2 \cdot 10^5$	0,26	$3,4515 \pm 0$	$-4,4985 \pm 0$	$2,3399 \pm 0$	$-5,2239 \pm 0$	$4,1562 \pm 0$	$-$
2,4	$10^2 \div 4 \cdot 10^5$	0,28	$4,0947 \pm 0$	$-1,1270 \pm 0$	$-3,1327 \pm 0$	$1,1118 \pm 0$	$-$	$-$
2,6	$10^3 \div 5 \cdot 10^4$	0,018	$3,6949 \pm 0$	$-4,2368 \pm 0$	$2,3454 \pm 0$	$-5,8717 \pm 0$	$6,1881 \pm 0$	$-2,0475 \pm 0$
2,6	$10^3 \div 5 \cdot 10^4$	0,02	$-1,7488 \pm 0$	$4,0572 \pm 0$	$-2,5154 \pm 0$	$7,9242 \pm 0$	$-1,2761 \pm 0$	$8,0723 \pm 0$
2,6	$10^3 \div 5 \cdot 10^4$	0,04	$1,3474 \pm 0$	$-2,0713 \pm 0$	$1,3065 \pm 0$	$-3,9884 \pm 0$	$5,8824 \pm 0$	$-3,3829 \pm 0$
2,6	$10^3 \div 5 \cdot 10^4$	0,06	$5,8965 \pm 0$	$-2,3223 \pm 0$	$3,9352 \pm 0$	$-1,7515 \pm 0$	$2,8436 \pm 0$	$-1,6559 \pm 0$
2,6	$10^3 \div 5 \cdot 10^4$	0,08	$5,8965 \pm 0$	$-8,7363 \pm 0$	$5,6650 \pm 0$	$-1,7572 \pm 0$	$2,5884 \pm 0$	$-1,4714 \pm 0$
2,6	$10^3 \div 5 \cdot 10^4$	0,10	$1,2679 \pm 0$	$-2,0712 \pm 0$	$1,3170 \pm 0$	$-4,1674 \pm 0$	$6,3723 \pm 0$	$-3,7945 \pm 0$
2,6	$10^3 \div 5 \cdot 10^4$	0,12	$1,1835 \pm 0$	$-1,7659 \pm 0$	$1,1215 \pm 0$	$-3,3975 \pm 0$	$4,9766 \pm 0$	$-2,8432 \pm 0$
2,6	$10^3 \div 5 \cdot 10^4$	0,14	$3,7892 \pm 0$	$-5,3668 \pm 0$	$3,4915 \pm 0$	$-1,0988 \pm 0$	$1,6388 \pm 0$	$-9,4790 \pm 0$
2,6	$10^3 \div 5 \cdot 10^4$	0,16	$-7,9146 \pm 0$	$1,3379 \pm 0$	$-8,0674 \pm 0$	$2,4087 \pm 0$	$-3,5684 \pm 0$	$2,0824 \pm 0$
2,6	$10^3 \div 2 \cdot 10^5$	0,18	$-5,7316 \pm 0$	$-1,1814 \pm 0$	$1,5426 \pm 0$	$-5,5891 \pm 0$	$4,8444 \pm 0$	$-$

Продолжение табл. I

<i>L</i>	<i>E</i> , кВ	$B_{0-1} T_B$	$A_1$	$A_2$	$A_3$	$A_4$	$A_5$	$A_6$
2,6	$10^3 \div 2 \cdot 10^4$	0,20	$7 \cdot 5692 + 00$	$-4 \cdot 5088 + 00$	$3 \cdot 4032 + 00$	$-9 \cdot 5857 - 01$	$8 \cdot 2862 - 02$	
2,6	$10^3 \div 2 \cdot 10^4$	0,22	$7 \cdot 8537 + 00$	$-5 \cdot 5526 + 00$	$4 \cdot 1449 + 00$	$-1 \cdot 2228 + 00$	$1 \cdot 0971 - 01$	
2,6	$10^3 \div 2 \cdot 10^4$	0,24	$-7 \cdot 4753 + 00$	$1 \cdot 6150 + 01$	$-7 \cdot 4162 + 00$	$1 \cdot 4362 + 00$	$-1 \cdot 1278 - 01$	
2,6	$10^3 \div 2 \cdot 10^4$	0,26	$1 \cdot 8341 + 01$	$-2 \cdot 2634 + 01$	$1 \cdot 2966 + 01$	$-3 \cdot 1766 + 00$	$2 \cdot 6732 - 01$	
2,6	$10^3 \div 4 \cdot 10^4$	0,28	$-3 \cdot 5037 + 01$	$4 \cdot 3529 + 01$	$-1 \cdot 6196 + 01$	$1 \cdot 9036 + 00$	$-$	
2,6	$10^3 \div 8 \cdot 10^4$	0,30	$6 \cdot 9531 - 01$	$2 \cdot 9488 - 01$	$-6 \cdot 3342 - 02$	$-4 \cdot 1592 - 02$	$-$	
2,8	$10^3 \div 5 \cdot 10^4$	0,014	$1 \cdot 6685 + 02$	$-2 \cdot 5213 + 02$	$1 \cdot 5565 + 02$	$-6 \cdot 4649 + 01$	$6 \cdot 7111 + 00$	
2,8	$10^3 \div 5 \cdot 10^4$	0,02	$1 \cdot 1296 + 01$	$-9 \cdot 0441 + 00$	$7 \cdot 4415 + 00$	$-2 \cdot 4130 + 00$	$2 \cdot 9221 - 01$	
2,8	$10^3 \div 2 \cdot 10^4$	0,04	$4 \cdot 3111 + 00$	$2 \cdot 6790 + 00$	$-2 \cdot 5638 - 01$	$-1 \cdot 7233 - 01$	$1 \cdot 2653 - 02$	
2,8	$10^3 \div 2 \cdot 10^4$	0,06	$8 \cdot 2628 + 00$	$-5 \cdot 4807 + 00$	$4 \cdot 9531 + 00$	$-1 \cdot 5448 + 00$	$1 \cdot 4046 - 01$	
2,8	$10^3 \div 2 \cdot 10^4$	0,08	$3 \cdot 4195 + 00$	$1 \cdot 0952 + 00$	$1 \cdot 7116 + 00$	$-8 \cdot 7717 - 01$	$9 \cdot 1473 - 02$	
2,8	$10^3 \div 2 \cdot 10^4$	0,10	$1 \cdot 4335 + 01$	$-3 \cdot 3250 + 01$	$8 \cdot 3369 + 00$	$-2 \cdot 1774 + 00$	$1 \cdot 8318 - 01$	
2,8	$10^3 \div 2 \cdot 10^4$	0,12	$-2 \cdot 2132 + 01$	$3 \cdot 4106 + 01$	$-1 \cdot 3863 + 01$	$2 \cdot 2750 + 00$	$-1 \cdot 4123 - 01$	
2,8	$10^3 \div 2 \cdot 10^4$	0,14	$-2 \cdot 7696 + 01$	$-3 \cdot 2063 + 01$	$1 \cdot 7985 + 01$	$-4 \cdot 3513 + 00$	$3 \cdot 6470 - 01$	
2,8	$10^3 \div 2 \cdot 10^4$	0,16	$-8 \cdot 3393 + 00$	$1 \cdot 7665 + 01$	$-7 \cdot 1316 + 00$	$1 \cdot 1195 + 00$	$-6 \cdot 9944 - 02$	
2,8	$10^3 \div 2 \cdot 10^4$	0,18	$5 \cdot 5065 + 00$	$-2 \cdot 0867 + 00$	$2 \cdot 8480 + 00$	$-1 \cdot 0333 + 00$	$9 \cdot 9808 - 02$	
2,8	$10^3 \div 2 \cdot 10^4$	0,20	$1 \cdot 4049 + 01$	$-1 \cdot 3690 + 01$	$8 \cdot 5008 + 00$	$-2 \cdot 2559 + 00$	$1 \cdot 9660 - 01$	
2,8	$10^3 \div 2 \cdot 10^4$	0,22	$3 \cdot 8058 + 00$	$4 \cdot 4348 + 00$	$-3 \cdot 0618 - 01$	$-3 \cdot 9781 - 01$	$5 \cdot 3572 - 02$	
2,8	$10^3 \div 2 \cdot 10^4$	0,24	$-4 \cdot 1909 + 01$	$6 \cdot 3093 + 01$	$-3 \cdot 0275 + 01$	$6 \cdot 2277 + 00$	$-4 \cdot 8194 - 01$	
2,8	$10^3 \div 2 \cdot 10^4$	0,26	$7 \cdot 6179 + 01$	$-9 \cdot 9726 + 01$	$5 \cdot 1191 + 01$	$-1 \cdot 1452 + 01$	$9 \cdot 2680 - 01$	
2,8	$10^3 \div 2 \cdot 10^4$	0,28	$-6 \cdot 9188 + 01$	$1 \cdot 0480 + 02$	$-5 \cdot 4639 + 01$	$1 \cdot 2296 + 01$	$-1 \cdot 0280 + 00$	
2,8	$10^3 \div 2 \cdot 10^4$	0,30	$-1 \cdot 1932 + 01$	$1 \cdot 6963 + 01$	$-6 \cdot 5260 + 00$	$7 \cdot 6383 - 01$	$-$	
3,0	$10^3 \div 2 \cdot 10^4$	0,011	$7 \cdot 0307 + 01$	$-8 \cdot 7722 + 01$	$4 \cdot 5486 + 01$	$-1 \cdot 0147 + 01$	$8 \cdot 0266 - 01$	
3,0	$10^3 \div 2 \cdot 10^4$	0,02	$2 \cdot 9389 + 01$	$-3 \cdot 2814 + 01$	$1 \cdot 8469 + 01$	$-4 \cdot 4247 + 00$	$3 \cdot 5686 - 01$	
3,0	$10^3 \div 2 \cdot 10^4$	0,04	$4 \cdot 2510 + 01$	$-5 \cdot 1610 + 01$	$2 \cdot 7987 + 01$	$-6 \cdot 5370 + 00$	$5 \cdot 3341 - 01$	
3,0	$10^3 \div 2 \cdot 10^4$	0,06	$1 \cdot 6718 + 01$	$-1 \cdot 7101 + 01$	$1 \cdot 1137 + 01$	$-2 \cdot 9937 + 00$	$2 \cdot 6151 - 01$	
3,0	$10^3 \div 2 \cdot 10^4$	0,08	$1 \cdot 8802 + 01$	$-2 \cdot 0782 + 01$	$1 \cdot 3187 + 01$	$-3 \cdot 4801 + 00$	$3 \cdot 0347 - 01$	
3,0	$10^3 \div 2 \cdot 10^4$	0,10	$-5 \cdot 5817 + 00$	$1 \cdot 3743 + 01$	$-4 \cdot 6563 + 00$	$5 \cdot 0126 - 01$	$-2 \cdot 1206 - 02$	
3,0	$10^3 \div 2 \cdot 10^4$	0,12	$-6 \cdot 0171 + 00$	$1 \cdot 3067 + 01$	$-3 \cdot 7220 + 00$	$1 \cdot 5674 - 01$	$1 \cdot 8442 - 02$	

Продолжение табл. 1

<i>L</i>	<i>E</i> , кВ	$B_{(0-1)} T_B$	<i>A</i> <sub>1</sub>	<i>A</i> <sub>2</sub>	<i>A</i> <sub>3</sub>	<i>A</i> <sub>4</sub>	<i>A</i> <sub>5</sub>	<i>A</i> <sub>6</sub>
3,0	$10^3 \div 10^4$	0,14	6,1650 + 01	-7,9083 + 01	4,2058 + 01	-9,7403 + 00	8,0652 - 01	
3,0	$10^3 \div 10^4$	0,16	-1,8200 + 01	3,3991 + 01	-1,6651 + 01	3,5169 + 00	-2,9458 - 01	
3,0	$10^3 \div 10^4$	0,18	-1,0080 + 01	2,1648 + 01	-9,8085 + 00	1,8518 + 00	-1,4490 - 01	
3,0	$10^3 \div 10^4$	0,20	-3,887 + 00	1,116 + 01	-3,577 + 00	2,720 - 01		
3,0	$10^3 \div 10^4$	0,22	-3,511 + 00	1,030 + 01	-3,234 + 00	2,302 - 01		
3,0	$10^3 \div 10^4$	0,24	-3,477 + 00	1,053 + 01	-3,484 + 00	2,770 - 01		
3,0	$10^3 \div 10^4$	0,26	-1,924 + 00	8,390 + 00	-2,668 + 00	1,777 - 01		
3,0	$10^3 \div 10^4$	0,28	5,331 - 01	5,720 + 00	-1,870 + 00	1,023 - 01		
3,0	$10^3 \div 4 \cdot 10^3$	0,30	2,888 + 00	2,686 + 00	-8,690 - 01			
3,0	$10^3 \div 4 \cdot 10^3$	0,32	2,349 + 00	2,038 + 00	-6,986 - 01			
3,0	$10^3 \div 4 \cdot 10^3$	0,34	3,322 + 00	-1,161 + 00	-			

Таблица 2

Коэффициенты для расчета энергетического распределения плотности потока протонов в фазе минимума 11-летнего цикла солнечной активности

$L$	$E, \text{ кэВ}$	$B_{\gamma, T_{1n}}$	$A_1$	$A_2$	$A_3$	$A_4$	$A_5$	$A_6$
1,2	$10^2 \div 10^3$	0,18	$-6,8118 - 0i$	$5,6578 + 0i$	$-2,7116 + 0i$	$5,6237 - 0i$	$-4,2966 - 0i$	$-$
1,2	$10^2 \div 10^3$	0,20	$2,0640 + 0i$	$1,6626 + 0i$	$-1,0262 + 0i$	$2,6343 - 0i$	$-2,3928 - 0i$	$-$
1,2	$10^2 \div 10^3$	0,22	$-1,6104 + 0i$	$1,2978 + 0i$	$-5,4256 + 0i$	$9,8665 - 0i$	$6,5820 - 0i$	$-$
1,4	$10^2 \div 10^4$	0,11	$-1,7891 + 0i$	$8,6972 + 0i$	$-3,8226 + 0i$	$7,2772 - 0i$	$-5,2919 - 0i$	$-$
1,4	$10^2 \div 10^4$	0,12	$3,4160 + 0i$	$2,1412 + 0i$	$-1,1021 + 0i$	$2,6187 - 0i$	$-2,4502 - 0i$	$-$
1,4	$10^2 \div 10^4$	0,14	$1,3484 - 0i$	$5,8297 + 0i$	$-2,7014 + 0i$	$5,4794 - 0i$	$-4,2315 - 0i$	$-$
1,4	$10^2 \div 10^4$	0,16	$2,2042 + 0i$	$3,0136 + 0i$	$-1,6013 + 0i$	$3,7461 - 0i$	$-3,2673 - 0i$	$-$
1,4	$10^2 \div 10^4$	0,18	$4,4589 + 0i$	$9,3309 - 0i$	$-4,3419 - 0i$	$1,8069 - 0i$	$-2,1219 - 0i$	$-$
1,4	$10^2 \div 10^4$	0,20	$4,5024 + 0i$	$-4,7874 - 0i$	$-9,6370 - 0i$	$9,7679 - 0i$	$-1,4193 - 0i$	$-$
1,4	$10^2 \div 10^4$	0,22	$7,1295 + 0i$	$-4,4030 + 0i$	$1,5426 + 0i$	$-1,9204 - 0i$	$4,5154 - 0i$	$-$
1,4	$10^2 \div 10^4$	0,24	$5,8900 + 0i$	$-6,1330 + 0i$	$2,7359 + 0i$	$-5,0815 - 0i$	$3,2841 - 0i$	$-$
1,6	$10^2 \div 10^4$	0,07	$6,6902 + 0i$	$-7,7545 + 0i$	$4,2045 + 0i$	$-1,0920 + 0i$	$1,3619 + 0i$	$-6,6134 - 0i$
1,6	$10^2 \div 10^4$	0,08	$5,2024 + 0i$	$-6,8696 + 0i$	$3,8825 + 0i$	$-1,0459 + 0i$	$1,3465 + 0i$	$-6,7218 - 0i$
1,6	$10^2 \div 10^4$	0,10	$2,0024 + 0i$	$-2,0557 + 0i$	$1,1137 + 0i$	$-2,8642 - 0i$	$3,4930 - 0i$	$-1,6767 - 0i$
1,6	$10^2 \div 10^4$	0,12	$2,4522 + 0i$	$-2,8610 + 0i$	$1,5942 + 0i$	$-4,2243 + 0i$	$5,3631 - 0i$	$-2,6802 - 0i$
1,6	$10^2 \div 10^4$	0,14	$6,4952 + 0i$	$-2,8787 + 0i$	$1,7720 + 0i$	$-4,8767 - 0i$	$6,1678 - 0i$	$-3,4228 - 0i$
1,6	$10^2 \div 10^4$	0,16	$-1,4346 + 0i$	$2,6908 + 0i$	$-1,4759 + 0i$	$3,9094 + 0i$	$-5,0174 - 0i$	$2,4568 - 0i$
1,6	$10^2 \div 10^4$	0,18	$-5,7334 + 0i$	$1,5332 + 0i$	$-9,3053 + 0i$	$2,7295 + 0i$	$-3,8556 - 0i$	$2,0221 - 0i$
1,6	$10^2 \div 10^4$	0,20	$-3,1337 + 0i$	$5,1982 + 0i$	$-2,9517 + 0i$	$8,0542 + 0i$	$-1,0581 + 0i$	$5,3292 - 0i$
1,6	$10^2 \div 10^4$	0,22	$-3,6652 + 0i$	$6,2143 + 0i$	$-3,6873 + 0i$	$1,0406 + 0i$	$1,3899 + 0i$	$7,1807 - 0i$
1,6	$10^2 \div 10^4$	0,24	$-3,8794 + 0i$	$6,0926 + 0i$	$-3,4606 + 0i$	$9,3916 + 0i$	$-1,2300 + 0i$	$6,1856 - 0i$
1,8	$10^2 \div 10^6$	0,05	$1,0900 + 0i$	$-1,5283 + 0i$	$8,7549 + 0i$	$-2,4118 + 0i$	$3,1901 + 0i$	$-1,6378 - 0i$
1,8	$10^2 \div 10^6$	0,06	$7,7994 + 0i$	$-1,0576 + 0i$	$6,0659 + 0i$	$-1,6620 + 0i$	$2,1893 + 0i$	$-1,1203 - 0i$
1,8	$10^2 \div 10^6$	0,08	$1,1073 + 0i$	$-1,5853 + 0i$	$9,2250 + 0i$	$-2,5816 + 0i$	$3,4614 + 0i$	$-1,8250 - 0i$

Продолжение табл. 2

<i>L</i>	<i>E</i> , кВ	$\frac{B_1}{10^{-4} \text{ Гн}}$	$A_1$	$A_2$	$A_3$	$A_4$	$A_5$	$A_6$
1.8	$10^3 \div 4 \cdot 10^3$	0.10	8.0342 + 01	-1.1147 + 02	6.4031 + 01	-1.7711 + 01	2.3643 + 00	-1.2310 - 01
1.8	$10^3 \div 4 \cdot 10^3$	0.12	5.8946 + 01	-8.0205 + 01	4.6243 + 01	-1.2890 + 01	1.7370 + 00	-9.1825 - 02
1.8	$10^3 \div 4 \cdot 10^3$	0.14	-7.9869 + 01	-4.1369 + 02	6.6455 + 01	-1.8734 + 01	2.5544 + 00	-1.2602 - 01
1.8	$10^3 \div 2 \cdot 10^3$	0.16	6.5630 + 01	-9.4134 + 01	5.6167 + 01	-1.6198 + 01	2.2645 + 00	-1.2088 - 01
1.8	$10^3 \div 2 \cdot 10^3$	0.18	3.5920 + 01	-5.0424 + 01	3.1291 + 01	-9.4533 + 00	1.3930 + 00	-8.0909 - 02
1.8	$10^3 \div 2 \cdot 10^3$	0.20	5.1880 + 01	-7.5038 + 01	4.5495 + 01	-1.3994 + 01	1.9217 + 00	-1.4845 - 01
1.8	$10^3 \div 2 \cdot 10^3$	0.22	-1.3888 + 02	6.7579 + 01	-1.9601 + 01	2.7841 + 00	-1.5590 - 01	
1.8	$10^3 \div 2 \cdot 10^3$	0.24	-1.4475 + 01	2.5935 + 01	-4.4973 + 01	4.1462 + 00	-5.4575 - 01	2.6508 - 02
1.8	$10^3 \div 10^4$	0.26	-8.0437 + 00	4.7845 + 00	-1.5642 + 00	2.7634 - 01	-2.0400 - 00	
2.0	$10^3 \div 4 \cdot 10^3$	0.039	0.1840 + 02	-1.6359 + 02	9.5171 + 01	-2.6235 + 01	3.4754 + 00	-1.7868 - 01
2.0	$10^3 \div 4 \cdot 10^3$	0.04	8.1954 + 01	-1.0926 + 02	6.1099 + 01	-1.6292 + 01	2.0647 + 00	-1.0068 - 01
2.0	$10^3 \div 4 \cdot 10^3$	0.06	9.6433 + 01	-1.3561 + 02	7.8729 + 01	-2.1971 + 01	2.9478 + 00	-1.5371 - 01
2.0	$10^3 \div 4 \cdot 10^3$	0.08	4.1155 + 01	-5.3065 + 01	3.1205 + 01	-8.5688 + 00	1.1083 + 00	-5.5149 - 02
2.0	$10^3 \div 2 \cdot 10^3$	0.10	7.0278 + 01	-9.7944 + 01	5.7324 + 01	-1.6141 + 01	2.1864 + 00	-1.1541 - 01
2.0	$10^3 \div 2 \cdot 10^3$	0.12	-1.0352 + 02	6.0937 + 01	-1.7236 + 01	2.3440 + 00	-1.2408 - 01	
2.0	$10^3 \div 2 \cdot 10^3$	0.14	1.3598 + 02	-1.9646 + 02	1.1386 + 02	-3.1869 + 01	4.3159 + 00	-2.2789 - 01
2.0	$10^3 \div 2 \cdot 10^3$	0.16	7.6281 + 01	-1.0978 + 02	6.5024 + 01	-1.8503 + 01	2.5333 + 00	-1.3495 - 01
2.0	$10^3 \div 2 \cdot 10^3$	0.18	7.1849 + 01	-1.0324 + 02	6.1273 + 01	-1.7603 + 01	2.4100 + 00	-1.2936 - 01
2.0	$10^3 \div 2 \cdot 10^3$	0.20	5.2318 + 01	-7.4466 + 01	4.4755 + 01	-1.2929 + 01	1.7969 + 00	-9.7440 - 02
2.0	$10^3 \div 2 \cdot 10^3$	0.22	9.4997 + 01	-7.3990 + 02	8.3413 + 01	-2.4049 + 01	3.3640 + 00	-1.8252 - 01
2.0	$10^3 \div 10^4$	0.24	7.0407 + 01	-1.0409 + 02	6.2883 + 01	-1.8296 + 01	2.5693 + 00	-1.4078 - 01
2.0	$10^3 \div 10^4$	0.26	1.0544 + 02	-1.5997 + 02	9.7350 + 01	-2.8669 + 01	4.0908 + 00	-2.2778 - 01
2.0	$10^3 \div 5 \cdot 10^4$	0.28	-6.6831 + 01	1.1768 + 02	-7.7816 + 01	2.5201 + 01	-3.9961 - 00	2.4701 - 01
2.2	$10^3 \div 3 \cdot 10^3$	0.029	5.5283 + 01	-7.0575 + 01	4.0002 + 01	-1.0757 + 01	1.3576 + 00	-6.5450 - 02
2.2	$10^3 \div 2 \cdot 10^3$	0.04	6.2187 + 01	-8.5499 + 01	5.0577 + 01	-1.4290 + 01	1.8857 + 00	-9.6356 - 02
2.2	$10^3 \div 2 \cdot 10^3$	0.06	5.7628 + 01	-7.8174 + 01	4.6144 + 01	-1.3036 + 01	1.7531 + 00	-9.1246 - 02
2.2	$10^3 \div 2 \cdot 10^3$	0.08	8.9409 + 01	-1.2439 + 02	7.1885 + 01	-2.0004 + 01	2.6733 + 00	-1.3879 - 01
2.2	$10^3 \div 2 \cdot 10^3$	0.10	4.6542 + 01	-6.3526 + 01	3.8223 + 01	-1.0977 + 01	1.4980 + 00	-7.9232 - 02
2.2	$10^3 \div 2 \cdot 10^3$	0.12	4.2061 + 01	-5.5557 + 01	3.2789 + 00	-9.2347 + 00	1.2344 + 00	-6.3991 - 02

Продолжение табл. 2

$L$	$E_{\text{эфB}}$	$\frac{B_1}{10^{-4} \text{ Тн}}$	$A_1$	$A_2$	$A_3$	$A_4$	$A_5$	$A_6$
2.2	$10^3 + 10^4$	0.14	$3.7197 + 0.01$	$-4.7943 + 0.01$	$2.7146 + 0.01$	$-7.4137 + 0.00$	$9.5167 + 0.01$	$-4.6955 - 0.02$
2.2	$10^3 + 10^5$	0.16	$-2.5578 + 0.01$	$5.1610 + 0.01$	$-3.3350 + 0.01$	$1.0595 + 0.01$	$-1.6596 + 0.00$	$1.0097 - 0.01$
2.2	$10^3 + 10^5$	0.18	$5.5831 + 0.01$	$-7.6832 + 0.01$	$4.4985 + 0.01$	$-1.2647 + 0.01$	$1.7002 + 0.00$	$-8.8766 - 0.02$
2.2	$10^3 + 10^5$	0.20	$3.1537 + 0.01$	$-4.1357 + 0.01$	$2.4570 + 0.01$	$-6.8834 + 0.00$	$9.0078 - 0.01$	$-4.5145 - 0.02$
2.2	$10^3 + 10^5$	0.22	$3.3244 + 0.01$	$-4.1016 + 0.01$	$2.2375 + 0.01$	$-5.6537 + 0.00$	$6.4072 - 0.01$	$-2.5910 - 0.02$
2.2	$10^3 + 10^5$	0.24	$-3.0137 + 0.01$	$5.3848 + 0.01$	$-3.2523 + 0.01$	$9.5956 + 0.00$	$-3.3975 + 0.00$	$7.9186 - 0.02$
2.2	$10^3 + 10^5$	0.26	$6.6598 + 0.01$	$-9.7810 + 0.01$	$5.9102 + 0.01$	$-1.7275 + 0.01$	$2.4451 + 0.00$	$1.3680 - 0.01$
2.2	$10^3 + 5 \cdot 10^4$	0.28	$4.6082 + 0.01$	$-5.9566 + 0.01$	$2.9298 + 0.01$	$-5.1534 + 0.00$	$4.6222 - 0.01$	$-$
2.4	$10^3 + 10^4$	0.022	$4.1555 + 0.01$	$-5.3045 + 0.01$	$3.1929 + 0.01$	$-9.0163 + 0.00$	$1.1748 + 0.00$	$-5.7843 - 0.02$
2.4	$10^3 + 10^4$	0.04	$9.8184 + 0.01$	$-1.4321 + 0.02$	$8.7194 + 0.01$	$-2.5556 + 0.01$	$3.5925 + 0.00$	$-1.9583 - 0.01$
2.4	$10^3 + 10^4$	0.06	$1.8582 + 0.01$	$-1.9866 + 0.01$	$1.3083 + 0.01$	$-4.0612 + 0.00$	$5.7622 - 0.01$	$-3.1467 - 0.02$
2.4	$10^3 + 10^4$	0.08	$6.2151 + 0.01$	$-8.8765 + 0.01$	$5.5007 + 0.01$	$-1.6447 + 0.01$	$2.3592 + 0.00$	$-1.3178 - 0.01$
2.4	$10^3 + 10^4$	0.10	$5.7130 + 0.01$	$-7.9022 + 0.01$	$4.7399 + 0.01$	$-1.3643 + 0.01$	$1.8724 + 0.00$	$-9.9675 - 0.02$
2.4	$10^3 + 10^4$	0.12	$9.3028 + 0.01$	$-1.3859 + 0.02$	$8.6131 + 0.01$	$-2.5972 + 0.01$	$3.7876 + 0.00$	$-2.1671 - 0.01$
2.4	$10^3 + 10^4$	0.14	$5.2088 + 0.01$	$-7.1752 + 0.01$	$4.3164 + 0.01$	$-1.2471 + 0.01$	$1.7166 + 0.00$	$-9.1646 - 0.02$
2.4	$10^3 + 5 \cdot 10^4$	0.16	$-5.2877 + 0.00$	$1.1856 + 0.01$	$-3.5771 + 0.00$	$2.5089 - 0.02$	$1.1817 - 0.01$	$-1.3378 - 0.02$
2.4	$10^3 + 5 \cdot 10^4$	0.18	$3.4097 + 0.01$	$-4.2627 + 0.01$	$2.4223 + 0.01$	$-6.4812 + 0.00$	$7.9073 - 0.01$	$-3.5476 - 0.02$
2.4	$10^3 + 5 \cdot 10^4$	0.20	$1.3502 + 0.02$	$-2.0584 + 0.02$	$1.2682 + 0.02$	$-3.7925 + 0.01$	$5.5055 + 0.00$	$-3.1273 - 0.01$
2.4	$10^3 + 5 \cdot 10^4$	0.22	$3.8517 + 0.01$	$-5.5576 + 0.01$	$3.5511 + 0.01$	$-1.0867 + 0.01$	$1.6833 + 0.00$	$9.0033 - 0.02$
2.4	$10^3 + 5 \cdot 10^4$	0.24	$5.5407 + 0.01$	$-8.0899 + 0.01$	$4.9733 + 0.01$	$-1.4801 + 0.01$	$2.1152 + 0.00$	$-1.1786 - 0.01$
2.4	$10^3 + 5 \cdot 10^4$	0.26	$1.9047 + 0.02$	$-2.9785 + 0.02$	$1.8559 + 0.02$	$-5.6362 + 0.01$	$8.3493 + 0.00$	$-4.8522 - 0.01$
2.4	$10^3 + 10^4$	0.28	$3.4267 + 0.01$	$-4.1504 + 0.01$	$2.0071 + 0.01$	$-4.2706 + 0.00$	$3.2687 - 0.01$	$-$
2.6	$10^2 + 5 \cdot 10^4$	0.018	$2.0509 + 0.01$	$-1.7055 + 0.01$	$8.3755 + 0.00$	$-1.5106 + 0.00$	$3.8923 - 0.03$	$1.3462 - 0.02$
2.6	$10^2 + 5 \cdot 10^4$	0.02	$1.4779 + 0.02$	$-2.2336 + 0.02$	$1.3831 + 0.02$	$-4.1427 + 0.01$	$5.9991 + 0.00$	$-3.3628 - 0.01$
2.6	$10^2 + 5 \cdot 10^4$	0.04	$1.3474 + 0.02$	$-2.0713 + 0.02$	$1.3065 + 0.02$	$-3.9884 + 0.01$	$5.8894 + 0.00$	$-3.3839 - 0.01$
2.6	$10^2 + 5 \cdot 10^4$	0.06	$5.8965 + 0.00$	$-2.3223 + 0.00$	$3.9352 + 0.00$	$-1.7515 + 0.00$	$2.8436 - 0.01$	$-1.6559 - 0.02$
2.6	$10^2 + 5 \cdot 10^4$	0.08	$5.8995 + 0.01$	$-8.7363 + 0.01$	$5.6650 + 0.01$	$-1.7572 + 0.01$	$2.5684 + 0.00$	$-1.4714 - 0.01$
2.6	$10^2 + 5 \cdot 10^4$	0.10	$1.3686 + 0.02$	$-2.1878 + 0.02$	$1.4305 + 0.02$	$-4.5376 + 0.01$	$6.9660 + 0.00$	$-4.1692 - 0.01$
2.6	$10^2 + 5 \cdot 10^4$	0.12	$1.3254 + 0.02$	$-2.0364 + 0.02$	$1.2814 + 0.02$	$-3.9194 + 0.01$	$5.8134 + 0.00$	$-3.3712 - 0.01$

Продолжение табл. 2

$L$	$E, \text{ кВ}$	$\frac{B}{(10^{-4} T_B)}$	$A_1$	$A_2$	$A_3$	$A_4$	$A_5$	$A_6$
2,6	$10^3 \div 5 \cdot 10^4$	0,14	$4,8691 \pm 01$	$-7,0457 \pm 01$	$4,5542 \pm 01$	$-1,4182 \pm 01$	$2,1061 \pm 00$	$-1,2146 \pm 01$
2,6	$10^3 \div 5 \cdot 10^4$	0,16	$-5,4196 \pm 01$	$8,9599 \pm 01$	$-5,1923 \pm 01$	$1,4627 \pm 01$	$-2,0445 \pm 00$	$-1,1216 \pm 01$
2,6	$10^3 \div 5 \cdot 10^4$	0,18	$-2,6468 \pm 01$	$4,7883 \pm 01$	$-2,7189 \pm 01$	$7,5590 \pm 00$	$-1,0698 \pm 00$	$5,8800 \pm 02$
2,6	$10^3 \div 5 \cdot 10^4$	0,20	$2,4301 \pm 01$	$-2,6531 \pm 01$	$1,4090 \pm 01$	$-3,2338 \pm 00$	$2,5538 \pm 01$	$-$
2,6	$10^3 \div 5 \cdot 10^4$	0,22	$4,2530 \pm 01$	$-5,1280 \pm 01$	$2,6037 \pm 01$	$-5,7226 \pm 00$	$4,4619 \pm 01$	$-$
2,6	$10^3 \div 5 \cdot 10^4$	0,24	$1,9542 \pm 01$	$-2,1926 \pm 01$	$1,2486 \pm 01$	$-3,0559 \pm 00$	$2,5699 \pm 01$	$-$
2,6	$10^3 \div 5 \cdot 10^4$	0,26	$7,6971 \pm 00$	$-4,1231 \pm 00$	$-2,9831 \pm 00$	$-6,0065 \pm 01$	$4,1896 \pm 02$	$-$
2,6	$10^3 \div 5 \cdot 10^4$	0,28	$5,7719 \pm 01$	$-7,4058 \pm 01$	$3,7346 \pm 01$	$-8,1519 \pm 00$	$6,3871 \pm 01$	$-$
2,6	$10^3 \div 4 \cdot 10^3$	0,30	$-1,8312 \pm 01$	$2,3912 \pm 01$	$-9,1379 \pm 00$	$1,1024 \pm 00$	$-$	$-$
2,8	$10^3 \div 5 \cdot 10^4$	0,014	$1,6688 \pm 02$	$-2,5213 \pm 02$	$1,5565 \pm 02$	$-4,6499 \pm 01$	$6,7111 \pm 00$	$-3,7790 \pm 01$
2,8	$10^3 \div 5 \cdot 10^4$	0,02	$1,1296 \pm 01$	$-9,0441 \pm 00$	$7,4415 \pm 00$	$-2,4130 \pm 00$	$2,9221 \pm 01$	$-1,0880 \pm 02$
2,8	$10^3 \div 2 \cdot 10^4$	0,04	$3,8244 \pm 01$	$-4,5015 \pm 01$	$2,4238 \pm 01$	$-5,6252 \pm 00$	$4,5667 \pm 01$	$-$
2,8	$10^3 \div 2 \cdot 10^4$	0,06	$8,2628 \pm 00$	$-5,4807 \pm 00$	$4,9531 \pm 00$	$4,5448 \pm 00$	$1,4046 \pm 01$	$-$
2,8	$10^3 \div 2 \cdot 10^4$	0,08	$3,4195 \pm 00$	$1,9952 \pm 00$	$1,7116 \pm 00$	$8,7717 \pm 01$	$9,1473 \pm 02$	$-$
2,8	$10^3 \div 2 \cdot 10^4$	0,10	$1,4335 \pm 01$	$-1,3250 \pm 01$	$8,3369 \pm 00$	$-2,1774 \pm 00$	$1,8318 \pm 01$	$-$
2,8	$10^3 \div 2 \cdot 10^4$	0,12	$-1,8015 \pm 01$	$2,9952 \pm 01$	$-1,2593 \pm 01$	$2,1789 \pm 00$	$-1,4668 \pm 01$	$-$
2,8	$10^3 \div 2 \cdot 10^4$	0,14	$2,7696 \pm 01$	$-3,2093 \pm 01$	$1,7985 \pm 01$	$-4,3613 \pm 00$	$3,6470 \pm 01$	$-$
2,8	$10^3 \div 2 \cdot 10^4$	0,16	$-9,0264 \pm 00$	$1,8493 \pm 01$	$-7,4737 \pm 00$	$1,1740 \pm 00$	$-7,0236 \pm 02$	$-$
2,8	$10^3 \div 2 \cdot 10^4$	0,18	$8,0687 \pm 00$	$-8,5097 \pm 00$	$4,8094 \pm 00$	$-1,4843 \pm 00$	$1,3681 \pm 01$	$-$
2,8	$10^3 \div 2 \cdot 10^4$	0,20	$-3,6244 \pm 00$	$1,0378 \pm 01$	$-3,3563 \pm 00$	$2,7240 \pm 01$	$-$	$-$
2,8	$10^3 \div 2 \cdot 10^4$	0,22	$-1,6584 \pm 00$	$8,1991 \pm 00$	$-2,6371 \pm 00$	$1,9821 \pm 01$	$-$	$-$
2,8	$10^3 \div 2 \cdot 10^4$	0,24	$8,5116 \pm 01$	$5,4581 \pm 00$	$-1,7637 \pm 00$	$1,1013 \pm 01$	$-$	$-$
2,8	$10^3 \div 2 \cdot 10^4$	0,26	$3,0509 \pm 00$	$3,1134 \pm 00$	$-1,0969 \pm 00$	$5,2243 \pm 02$	$-$	$-$
2,8	$10^3 \div 10^4$	0,28	$5,0350 \pm 00$	$8,3793 \pm 02$	$9,7062 \pm 02$	$-9,2702 \pm 02$	$-$	$-$
2,8	$10^3 \div 10^4$	0,30	$4,3391 \pm 00$	$4,0946 \pm 01$	$-8,8519 \pm 02$	$6,1554 \pm 02$	$-$	$-$
2,8	$10^3 \div 10^4$	0,32	$3,1404 \pm 00$	$6,2303 \pm 01$	$-3,4495 \pm 01$	$-$	$-$	$-$
3,0	$10^3 \div 2 \cdot 10^4$	0,011	$2,2031 \pm 01$	$-2,3688 \pm 01$	$1,4676 \pm 01$	$-3,7399 \pm 00$	$3,1472 \pm 01$	$-$
3,0	$10^3 \div 2 \cdot 10^4$	0,02	$-7,1515 \pm 00$	$1,4999 \pm 01$	$-4,2490 \pm 00$	$2,8359 \pm 01$	$-$	$-$
3,0	$10^3 \div 2 \cdot 10^4$	0,04	$-9,7618 \pm 00$	$1,7381 \pm 01$	$-5,1942 \pm 00$	$3,9929 \pm 01$	$-$	$-$

Продолжение табл. 2

$L$	$E, \text{ кВ}$	$10^{-4} T_{\mu}$	$B_1$	$A_1$	$A_2$	$A_3$	$A_4$	$A_5$
3.0	$10^2 + 2 \cdot 10^4$	0.06	-7.3625 + 00	1.5334 + 01	-4.7596 + 00	3.7574 - 01		
3.0	$10^2 + 2 \cdot 10^4$	0.08	-8.6430 + 00	1.6348 + 01	-5.0921 + 00	4.1239 - 01		
3.0	$10^2 + 2 \cdot 10^4$	0.10	-3.6653 + 00	1.1149 + 01	-3.3792 + 00	2.2928 - 01		
3.0	$10^2 + 2 \cdot 10^4$	0.12	-7.6883 + 00	1.5326 + 01	-4.8328 + 00	3.9238 - 01		
3.0	$10^2 + 4 \cdot 10^4$	0.14	1.9374 - 01	6.9651 + 00	-2.0480 + 00	9.3781 - 02		
3.0	$10^2 + 4 \cdot 10^4$	0.16	4.2445 + 00	2.5639 + 00	-5.4165 - 01	-7.4866 - 02		
3.0	$10^2 + 4 \cdot 10^4$	0.18	9.5589 - 01	1.9444 + 00	-1.8964 + 00	8.5298 - 02		
3.0	$10^2 + 4 \cdot 10^4$	0.20	-3.8861 + 00	1.1156 + 01	-3.3764 + 00	2.7190 - 01		
3.0	$10^2 + 4 \cdot 10^4$	0.22	-3.7546 + 00	1.0360 + 01	-3.1736 + 00	2.1520 - 01		
3.0	$10^2 + 4 \cdot 10^4$	0.24	-2.8970 + 00	9.5601 + 00	-3.0180 + 00	2.1147 - 01		
3.0	$10^2 + 4 \cdot 10^4$	0.26	-1.9248 + 00	8.3902 + 00	-2.8677 + 00	1.7771 - 01		
3.0	$10^2 + 4 \cdot 10^4$	0.28	3.6545 + 00	2.0426 + 00	-4.7929 - 01	-6.4815 - 02		
3.0	$10^2 + 4 \cdot 10^4$	0.30	-5.8336 + 00	1.1645 + 01	-4.0559 + 00	3.7034 - 01		
3.0	$10^2 + 4 \cdot 10^4$	0.32	3.2373 + 01	-3.3557 + 01	1.2974 + 01	-1.6958 + 00		
3.0	$10^2 + 8 \cdot 10^4$	0.34	2.8465 + 00	-7.7171 - 01	-	-		
3.2	$10^2 + 2 \cdot 10^4$	0.009	6.9358 + 01	-8.7709 + 01	4.6199 + 01	-1.0454 + 01		
3.2	$10^2 + 2 \cdot 10^4$	0.01	-4.2563 + 00	9.9981 + 00	-2.0702 + 00	-		
3.2	$10^2 + 2 \cdot 10^4$	0.02	1.6653 + 00	6.4019 + 00	-1.6603 + 00	1.8801 - 02		
3.2	$10^2 + 10^4$	0.04	3.8609 + 00	3.2295 + 00	-3.7906 - 01	-1.5069 - 01		
3.2	$10^2 + 10^4$	0.06	-5.9380 + 00	1.4425 + 01	-4.5495 + 00	3.4367 - 01		
3.2	$10^2 + 10^4$	0.08	-2.7789 + 00	1.0773 + 01	-3.2727 + 00	2.0179 - 01		
3.2	$10^2 + 10^4$	0.10	-6.2358 - 01	7.8537 + 00	-2.1722 + 00	7.3560 - 02		
3.2	$10^2 + 10^4$	0.12	4.8104 + 00	2.7496 + 00	-7.0418 - 01	-6.1204 - 02		
3.2	$10^2 + 10^4$	0.14	1.9477 + 00	5.8585 + 00	-1.8031 + 00	6.1420 - 02		
3.2	$10^2 + 10^4$	0.16	-4.2691 + 00	1.2099 + 01	-3.8136 + 00	2.7142 - 01		
3.2	$10^2 + 10^4$	0.18	-4.2444 + 00	1.2240 + 01	-3.9815 + 00	2.9769 - 01		
3.2	$10^2 + 10^4$	0.20	-1.8986 + 00	9.6635 + 00	-3.1181 + 00	2.0484 - 01		
3.2	$10^2 + 8 \cdot 10^4$	0.22	1.3766 + 00	5.3586 + 00	-1.4476 + 00	-		
3.2	$10^2 + 8 \cdot 10^4$	0.24	4.2486 - 01	5.8693 + 00	-1.5370 + 00	-		
3.2	$10^2 + 4 \cdot 10^3$	0.26	1.8249 - 01	5.9530 + 00	-1.5652 + 00	-		

Продолжение табл. 2

<i>L</i>	<i>E</i> , кВ	$\frac{E}{(0^{\circ} - T_B)}$	<i>A</i> <sub>1</sub>	<i>A</i> <sub>2</sub>	<i>A</i> <sub>3</sub>	<i>A</i> <sub>4</sub>	<i>A</i> <sub>5</sub>	<i>A</i> <sub>6</sub>
3,2	$10^3 \div 4 \cdot 10^3$	0,28	2,7036—01	5,6114+00	-1,5079+00	-	-	-
3,2	$10^3 \div 4 \cdot 10^3$	0,30	1,6166+00	3,9928+00	-1,2089+00	-	-	-
3,2	$10^3 \div 10^3$	0,32	9,6746+00	-4,6846+00	6,7242—01	-	-	-
3,2	$10^3 \div 8 \cdot 10^2$	0,34	4,0420+00	-1,2662+00	-	-	-	-
3,4	$10^3 \div 10^4$	0,008	1,1772+02	-1,5700+02	8,2830+01	1,8906+01	-	-
3,4	$10^3 \div 10^4$	0,01	2,2814+00	5,7671+00	-1,2759+00	5,1955—02	-	-
3,4	$10^3 \div 10^4$	0,02	9,7622+00	-2,6211+00	1,5745+00	-3,6719—01	-	-
3,4	$10^3 \div 10^4$	0,04	2,6772+00	1,0372+01	-2,8472+00	1,1284—01	-	-
3,4	$10^3 \div 10^4$	0,06	-1,6202+00	9,5417+00	-2,7325+00	1,1172—01	-	-
3,4	$10^3 \div 10^4$	0,08	-4,5587+00	1,2737+01	-3,9354+00	2,6310—01	-	-
3,4	$10^3 \div 10^4$	0,10	-4,8570+00	1,2794+01	-3,9724+00	2,7019—01	-	-
3,4	$10^3 \div 10^4$	0,12	-5,1540+00	1,3529+01	-4,4039+00	3,3597—01	-	-
3,4	$10^3 \div 8 \cdot 10^3$	0,14	-2,1547+00	1,0376+01	-3,3602+00	2,2353—01	-	-
3,4	$10^3 \div 8 \cdot 10^3$	0,16	-3,3854+00	1,1430+01	-3,6619+00	2,4720—01	-	-
3,4	$10^3 \div 8 \cdot 10^3$	0,18	3,7367+00	3,2585+00	-6,8791—01	-1,0054—01	-	-
3,4	$10^3 \div 8 \cdot 10^3$	0,20	-1,0965+00	8,6759+00	2,6893+00	1,3789—01	-	-
3,4	$10^3 \div 8 \cdot 10^3$	0,22	-8,2681—02	7,5833+00	-2,3870+00	1,1424—01	-	-
3,4	$10^3 \div 4 \cdot 10^3$	0,24	1,9455+00	5,1428+00	-1,4722+00	-	-	-
3,4	$10^3 \div 4 \cdot 10^3$	0,26	6,8911—02	6,3050+00	-1,6767+00	-	-	-
3,4	$10^3 \div 4 \cdot 10^3$	0,28	2,2926+00	4,1794+00	1,2632+00	-	-	-
3,4	$10^3 \div 4 \cdot 10^3$	0,30	3,7888+00	2,3937+00	-9,3319—01	-	-	-
3,4	$10^3 \div 4 \cdot 10^3$	0,32	4,2843+00	2,4071—01	-4,4194—01	-	-	-
3,4	$10^3 \div 8 \cdot 10^2$	0,34	6,2313+00	2,1179+00	-	-	-	-
3,6	$10^3 \div 10^4$	0,007	1,5343—01	7,4553+00	-1,4853+00	-8,3328—02	-	-
3,6	$10^3 \div 10^4$	0,01	1,2635+00	6,0364+00	-1,1128+00	-1,1119—01	-	-
3,6	$10^3 \div 10^4$	0,02	5,0911+00	1,9784+00	1,7060—01	-2,4629—01	-	-
3,6	$10^3 \div 8 \cdot 10^3$	0,04	2,3450+00	4,5375+00	-6,6035—01	-1,6319—01	-	-
3,6	$10^3 \div 8 \cdot 10^3$	0,06	-6,9508+00	1,4802+01	-4,3680+00	2,6407—01	-	-
3,6	$10^3 \div 4 \cdot 10^3$	0,08	-8,9376—01	7,8753+00	-1,9637+00	-	-	-

Приложение табл. 2

<i>L</i>	<i>E, kV·B</i>	<i>B<sub>0</sub>, T<sub>02</sub></i>	<i>A<sub>1</sub></i>	<i>A<sub>2</sub></i>	<i>A<sub>3</sub></i>	<i>A<sub>4</sub></i>	<i>A<sub>5</sub></i>
3,6	$10^2 \div 4 \cdot 10^3$	0,10	$2,9569 - 0i$	$6,9535 + 0i$	$-1,8087 + 0i$	$-1,7032 + 0i$	
3,6	$10^2 \div 4 \cdot 10^3$	0,12	$1,2331 + 0i$	$6,2929 + 0i$	$-1,8293 + 0i$	$-1,7032 + 0i$	
3,6	$10^2 \div 4 \cdot 10^3$	0,14	$2,2201 - 0i$	$6,9719 + 0i$	$-1,8293 + 0i$	$-1,7032 + 0i$	
3,6	$10^2 \div 4 \cdot 10^3$	0,16	$-4,3395 - 0i$	$7,1097 + 0i$	$-1,8595 + 0i$	$-1,7032 + 0i$	
3,6	$10^2 \div 4 \cdot 10^3$	0,18	$-8,4964 - 0i$	$7,6392 + 0i$	$-1,9521 + 0i$	$-1,7233 + 0i$	
3,6	$10^2 \div 4 \cdot 10^3$	0,20	$6,4115 - 0i$	$7,4115 + 0i$	$-1,7233 + 0i$	$-1,7233 + 0i$	
3,6	$10^2 \div 4 \cdot 10^3$	0,22	$-1,4721 - 0i$	$6,8773 + 0i$	$-1,8222 + 0i$	$-1,8222 + 0i$	
3,6	$10^2 \div 4 \cdot 10^3$	0,24	$-1,1261 + 0i$	$7,2904 + 0i$	$-1,8608 + 0i$	$-1,8608 + 0i$	
3,6	$10^2 \div 4 \cdot 10^3$	0,26	$2,9543 - 0i$	$6,1066 - 0i$	$-1,6523 + 0i$	$-1,6523 + 0i$	
3,6	$10^2 \div 4 \cdot 10^3$	0,28	$1,0308 + 0i$	$5,1286 + 0i$	$-1,4571 + 0i$	$-1,4571 + 0i$	
3,6	$10^2 \div 4 \cdot 10^3$	0,30	$4,6150 + 0i$	$1,8726 + 0i$	$-8,6449 - 0i$	$-8,6449 - 0i$	
3,6	$10^2 \div 4 \cdot 10^3$	0,32	$9,1509 + 0i$	$-3,2822 + 0i$	$-2,7769 - 0i$	$-2,7769 - 0i$	
3,6	$10^2 \div 8 \cdot 10^2$	0,34	$-1,8602 + 0i$	$2,0421 + 0i$	$-4,7350 + 0i$	$-4,7350 + 0i$	
3,8	$10^2 \div 4 \cdot 10^3$	0,006	$1,9739 + 0i$	$-1,5586 + 0i$	$7,3018 + 0i$	$-1,1840 + 0i$	
3,8	$10^2 \div 4 \cdot 10^3$	0,01	$-2,8928 - 0i$	$8,2933 + 0i$	$-2,0878 + 0i$	$-2,0878 + 0i$	
3,8	$10^2 \div 4 \cdot 10^3$	0,02	$-2,9255 + 0i$	$1,0071 + 0i$	$-2,4134 + 0i$	$-2,4134 + 0i$	
3,8	$10^2 \div 4 \cdot 10^3$	0,04	$-3,5981 + 0i$	$1,0393 + 0i$	$-2,4762 + 0i$	$-2,4762 + 0i$	
3,8	$10^2 \div 4 \cdot 10^3$	0,06	$-4,0948 + 0i$	$1,0558 + 0i$	$-2,5027 + 0i$	$-2,5027 + 0i$	
3,8	$10^2 \div 4 \cdot 10^3$	0,08	$-2,2146 + 0i$	$9,0760 + 0i$	$-2,4556 + 0i$	$-2,4556 + 0i$	
3,8	$10^2 \div 4 \cdot 10^3$	0,10	$-2,3331 + 0i$	$9,2027 + 0i$	$-2,2985 + 0i$	$-2,2985 + 0i$	
3,8	$10^2 \div 4 \cdot 10^3$	0,12	$-2,2372 + 0i$	$9,0693 + 0i$	$-2,2674 + 0i$	$-2,2674 + 0i$	
3,8	$10^2 \div 4 \cdot 10^3$	0,14	$-1,4637 + 0i$	$8,3967 + 0i$	$-2,1405 + 0i$	$-2,1405 + 0i$	
3,8	$10^2 \div 4 \cdot 10^3$	0,16	$-1,8331 + 0i$	$8,5424 + 0i$	$-2,1611 + 0i$	$-2,1611 + 0i$	
3,8	$10^2 \div 4 \cdot 10^3$	0,18	$-2,1534 + 0i$	$8,6473 + 0i$	$-2,1632 + 0i$	$-2,1632 + 0i$	
3,8	$10^2 \div 4 \cdot 10^3$	0,20	$-1,6499 + 0i$	$8,1366 + 0i$	$-2,0785 + 0i$	$-2,0785 + 0i$	
3,8	$10^2 \div 4 \cdot 10^3$	0,22	$-7,7645 - 0i$	$7,4622 + 0i$	$-1,9645 + 0i$	$-1,9645 + 0i$	
3,8	$10^2 \div 4 \cdot 10^3$	0,24	$-7,8876 - 0i$	$7,1650 + 0i$	$-1,8999 + 0i$	$-1,8999 + 0i$	
3,8	$10^2 \div 4 \cdot 10^3$	0,26	$-7,7345 + 0i$	$7,9100 + 0i$	$-2,0111 + 0i$	$-2,0111 + 0i$	
3,8	$10^2 \div 4 \cdot 10^3$	0,28	$-1,5424 + 0i$	$7,3248 + 0i$	$-1,9129 + 0i$	$-1,9129 + 0i$	
3,8	$10^2 \div 10^2$	0,30	$4,6227 + 0i$	$1,9287 + 0i$	$-8,8913 - 0i$	$-8,8913 - 0i$	

Продолжение табл. 2

$L$	$E, \text{ кВ}$	$ 10^{-4} T_A $	$\frac{B}{E} T_A$	$A_1$	$A_2$	$A_3$	$A_4$	$A_5$	$A_6$	$A_7$
3,8	$10^2 \div 10^3$	0,32	$7,0798 \pm 00$	$-1,2976 \pm 00$	$-1,29755 \pm 01$	$-1,7727 \pm 00$	$-$	$-$	$-$	$-$
3,8	$10^2 \div 10^3$	0,34	$-3,2316 \pm 00$	$6,8987 \pm 00$	$-$	$-$	$-$	$-$	$-$	$-$
3,8	$10^2 \div 8 \cdot 10^2$	0,36	$5,8314 \pm 00$	$-1,7579 \pm 00$	$-$	$-$	$-$	$-$	$-$	$-$
4,0	$10^2 \div 4 \cdot 10^3$	0,005	$2,1661 \pm 01$	$-1,9446 \pm 01$	$9,3351 \pm 00$	$-1,5135 \pm 00$	$-$	$-$	$-$	$-$
4,0	$10^2 \div 4 \cdot 10^3$	0,01	$-3,9697 \pm 00$	$1,1234 \pm 01$	$-2,6815 \pm 00$	$-$	$-$	$-$	$-$	$-$
4,0	$10^2 \div 4 \cdot 10^3$	0,02	$-4,2189 \pm 00$	$1,1185 \pm 01$	$-2,6776 \pm 00$	$-$	$-$	$-$	$-$	$-$
4,0	$10^2 \div 4 \cdot 10^3$	0,04	$-4,9326 \pm 00$	$1,1335 \pm 01$	$-2,6885 \pm 00$	$-$	$-$	$-$	$-$	$-$
4,0	$10^2 \div 4 \cdot 10^3$	0,06	$-2,3539 \pm 00$	$9,3700 \pm 00$	$-2,3527 \pm 00$	$-$	$-$	$-$	$-$	$-$
4,0	$10^2 \div 4 \cdot 10^3$	0,08	$-3,4439 \pm 00$	$1,0700 \pm 01$	$-2,5028 \pm 00$	$-$	$-$	$-$	$-$	$-$
4,0	$10^2 \div 4 \cdot 10^3$	0,10	$-3,3691 \pm 00$	$1,0032 \pm 01$	$-2,4764 \pm 00$	$-$	$-$	$-$	$-$	$-$
4,0	$10^2 \div 4 \cdot 10^3$	0,12	$-3,5895 \pm 00$	$9,3585 \pm 00$	$-2,3898 \pm 00$	$-$	$-$	$-$	$-$	$-$
4,0	$10^2 \div 4 \cdot 10^3$	0,14	$-2,5897 \pm 00$	$9,3485 \pm 00$	$-2,3736 \pm 00$	$-$	$-$	$-$	$-$	$-$
4,0	$10^2 \div 4 \cdot 10^3$	0,16	$-2,6897 \pm 00$	$9,2903 \pm 00$	$-2,3465 \pm 00$	$-$	$-$	$-$	$-$	$-$
4,0	$10^2 \div 4 \cdot 10^3$	0,18	$-2,8992 \pm 00$	$9,2168 \pm 00$	$-2,3145 \pm 00$	$-$	$-$	$-$	$-$	$-$
4,0	$10^2 \div 4 \cdot 10^3$	0,20	$-3,3899 \pm 00$	$9,6891 \pm 00$	$-2,4270 \pm 00$	$-$	$-$	$-$	$-$	$-$
4,0	$10^2 \div 4 \cdot 10^3$	0,22	$-2,5891 \pm 00$	$8,7215 \pm 00$	$-2,2207 \pm 00$	$-$	$-$	$-$	$-$	$-$
4,0	$10^2 \div 4 \cdot 10^3$	0,24	$-1,9875 \pm 00$	$8,2769 \pm 00$	$-2,1439 \pm 00$	$-$	$-$	$-$	$-$	$-$
4,0	$10^2 \div 10^4$	0,26	$7,8267 \pm 01$	$5,6705 \pm 00$	$-1,5851 \pm 00$	$-$	$-$	$-$	$-$	$-$
4,0	$10^2 \div 10^3$	0,28	$-1,8890 \pm 00$	$7,7791 \pm 00$	$-2,0460 \pm 00$	$-$	$-$	$-$	$-$	$-$
4,0	$10^2 \div 10^3$	0,30	$1,0643 \pm 00$	$4,9581 \pm 00$	$-1,5267 \pm 00$	$-$	$-$	$-$	$-$	$-$
4,0	$10^2 \div 10^3$	0,32	$3,0345 \pm 00$	$2,2263 \pm 00$	$-8,6978 \pm 01$	$-$	$-$	$-$	$-$	$-$
4,0	$10^2 \div 10^3$	0,34	$-5,4783 \pm 00$	$8,5288 \pm 00$	$-2,0696 \pm 00$	$-$	$-$	$-$	$-$	$-$
4,0	$10^2 \div 8 \cdot 10^2$	0,36	$5,6243 \pm 00$	$-1,6412 \pm 00$	$-$	$-$	$-$	$-$	$-$	$-$
4,0	$10^2 \div 8 \cdot 10^2$	0,38	$2,7370 \pm 00$	$-8,6960 \pm 01$	$-$	$-$	$-$	$-$	$-$	$-$
4,2	$10^2 \div 4 \cdot 10^3$	0,004	$2,7223 \pm 01$	$-2,5304 \pm 01$	$1,1365 \pm 01$	$-1,7596 \pm 00$	$-$	$-$	$-$	$-$
4,2	$10^2 \div 4 \cdot 10^3$	0,005	$-1,908 \pm 00$	$9,658 \pm 00$	$-2,352 \pm 00$	$-$	$-$	$-$	$-$	$-$
4,2	$10^2 \div 4 \cdot 10^3$	0,01	$-6,0578 \pm 00$	$1,2979 \pm 01$	$-3,0758 \pm 00$	$-$	$-$	$-$	$-$	$-$
4,2	$10^2 \div 4 \cdot 10^3$	0,02	$-5,0009 \pm 00$	$1,1877 \pm 01$	$-2,8723 \pm 00$	$-$	$-$	$-$	$-$	$-$
4,2	$10^2 \div 4 \cdot 10^3$	0,04	$-6,1805 \pm 00$	$1,2613 \pm 01$	$-3,0222 \pm 00$	$-$	$-$	$-$	$-$	$-$
4,2	$10^2 \div 4 \cdot 10^3$	0,06	$-4,8869 \pm 00$	$1,1544 \pm 01$	$-2,8277 \pm 00$	$-$	$-$	$-$	$-$	$-$

Продолжение табл. 2

$L$	$E, \text{ кВ}$	$\frac{B_2}{ 0-T_3 }$	$A_1$	$A_2$	$A_3$	$A_4$	$A_5$	$A_6$
4,2	$10^2 \div 10^3$	0,08	-5,5718+00	1,1997+01	-2,9317+00			
4,2	$10^2 \div 10^3$	0,10	-1,1320+00	8,3178+00	-2,2013+00			
4,2	$10^2 \div 10^3$	0,12	1,9419-01	7,1319+00	-1,9634+00			
4,2	$10^2 \div 10^3$	0,14	-2,8883+00	9,5633+00	-2,4402+00			
4,2	$10^2 \div 10^3$	0,16	2,5045+00	9,1988+00	-2,3748+00			
4,2	$10^2 \div 10^3$	0,18	3,5809+00	4,0626+00	-1,2602+00			
4,2	$10^2 \div 10^3$	0,20	-1,9697+00	8,3094+00	-2,1625+00			
4,2	$10^2 \div 10^3$	0,22	-3,1339+00	9,3877+00	-2,4199+00			
4,2	$10^2 \div 10^3$	0,24	-1,6030+00	8,0029+00	-2,1246+00			
4,2	$10^2 \div 10^3$	0,26	4,6098+00	1,0352+01	-2,6000+00			
4,2	$10^2 \div 10^3$	0,28	-5,3884+00	1,0525+01	-2,5901+00			
4,2	$10^2 \div 10^3$	0,30	1,0491+00	5,0491+00	-1,5536+00			
4,2	$10^2 \div 10^3$	0,32	2,4638+00	2,6488+00	-9,4949-01			
4,2	$10^2 \div 10^3$	0,34	-5,3977+00	2,5498+00	-2,1079+00			
4,2	$10^2 \div 10^3$	0,36	-4,0681+00	6,5087+00	-1,6624+00			
4,2	$10^2 \div 4 \cdot 10^3$	0,38	3,6233+00	-1,161+00	-			
4,4	$10^2 \div 10^3$	0,004	3,5338+00	4,9665+00	-1,392+00			
4,4	$10^2 \div 10^3$	0,005	1,7381+01	-3,9960+00	-			
4,4	$10^2 \div 10^3$	0,01	-2,628+01	1,031+01	-2,626+00			
4,4	$10^2 \div 10^3$	0,02	-5,6882-01	8,308+00	-2,162+00			
4,4	$10^2 \div 10^3$	0,04	-6,0556+00	1,287+01	-3,171+00			
4,4	$10^2 \div 10^3$	0,06	-6,5066+00	1,319+01	-3,257+00			
4,4	$10^2 \div 10^3$	0,08	-5,0866+00	1,180+01	-2,956+00			
4,4	$10^2 \div 10^3$	0,10	-4,3777+00	1,120+01	-2,852+00			
4,4	$10^2 \div 10^3$	0,12	-1,619+00	8,691+00	-2,321+00			
4,4	$10^2 \div 10^3$	0,14	3,246+00	1,013+01	-2,636+00			
4,4	$10^2 \div 10^3$	0,16	-3,453-01	7,538+00	-2,107+00			
4,4	$10^2 \div 10^3$	0,18	6,284+00	7,383+01	-3,356+00			
4,4	$10^2 \div 10^3$	0,20	-4,344+00	1,060+01	-2,712+00			
4,4	$10^2 \div 10^3$	0,22	-1,261+00	8,071+00	-2,220+00			
4,4	$10^2 \div 10^3$	0,24	-2,231+00	8,743+00	-2,352+00			

Продолжение табл. 2

<i>t</i>	<i>E</i> , кВ	$\frac{B_0}{10^{-4} T_B}$	<i>A</i> <sub>1</sub>	<i>A</i> <sub>2</sub>	<i>A</i> <sub>3</sub>	<i>A</i> <sub>4</sub>
4,4	$10^2 \div 10^3$	0,26	-4,075+00	1,007+01	-2,613+00	
4,4	$10^2 \div 10^3$	0,28	2,582+00	4,059+00	-1,350+00	
4,4	$10^2 \div 10^3$	0,30	-9,642-01	6,900+00	-1,994+00	
4,4	$10^2 \div 10^3$	0,32	-1,836+00	6,075+00	-1,632+00	
4,4	$10^2 \div 10^3$	0,34	9,252+00	1,134+01	-2,603+00	
4,4	$10^2 \div 10^3$	0,36	-4,255+00	6,901+00	-1,769+00	
4,4	$10^2 \div 10^3$	0,38	-1,871+00	3,954+00	-1,140+00	
4,6	$10^2 \div 10^3$	0,003	-1,973+00	9,749+00	-2,420+00	
4,6	$10^2 \div 10^3$	0,005	-3,6394+01	3,4685+01	-6,9797+00	
4,6	$10^2 \div 10^3$	0,01	-3,297+00	1,102+01	-2,862+00	
4,6	$10^2 \div 10^3$	0,02	-4,580+00	1,171+01	-2,960+00	
4,6	$10^2 \div 10^3$	0,04	-7,673+00	1,447+01	-3,591+00	
4,6	$10^2 \div 10^3$	0,06	-7,166+00	1,389+01	-3,433+00	
4,6	$10^2 \div 10^3$	0,08	-8,011+00	1,452+01	-3,608+00	
4,6	$10^2 \div 10^3$	0,10	-2,070+00	9,396+00	-2,562+00	
4,6	$10^2 \div 10^3$	0,12	2,633+00	9,917+00	-2,682+00	
4,6	$10^2 \div 10^3$	0,14	-5,533+00	1,214+01	-3,109+00	
4,6	$10^2 \div 10^3$	0,16	-6,075+00	1,264+01	-3,225+00	
4,6	$10^2 \div 10^3$	0,18	-8,229+00	1,407+01	-3,476+00	
4,6	$10^2 \div 10^3$	0,20	-5,740+00	1,121+01	-3,121+00	
4,6	$10^2 \div 10^3$	0,22	-3,161+00	9,851+01	-2,659+00	
4,6	$10^2 \div 10^3$	0,24	-2,745+00	9,390+00	-2,565+00	
4,6	$10^2 \div 10^3$	0,26	-6,546+00	1,217+01	-3,078+00	
4,6	$10^2 \div 10^3$	0,28	-6,785+00	1,180+01	-2,956+00	
4,6	$10^2 \div 10^3$	0,30	-7,807-01	6,718+00	-1,966+00	
4,6	$10^2 \div 10^3$	0,32	-3,794-01	5,241+00	-1,535+00	
4,6	$10^2 \div 10^3$	0,34	-6,246+00	9,433+00	-2,531+00	
4,6	$10^2 \div 10^3$	0,36	-4,568+00	7,101+00	-1,790+00	
4,6	$10^2 \div 10^3$	0,38	-2,672+00	4,832+00	-1,347+00	

Продолжение табл. 2

<i>L</i>	<i>E</i> , кВ	$\frac{B_1}{10^{-4} \cdot T_{Fe}}$	<i>A</i> <sub>1</sub>	<i>A</i> <sub>2</sub>	<i>A</i> <sub>3</sub>	<i>A</i> <sub>4</sub>	<i>A</i> <sub>5</sub>
4,8	$10^2 \div 10^3$	0,003	-3,551+00	1,126+01	-2,801+00		
4,8	$10^2 \div 10^3$	0,005	-6,384+01	6,971+01	-1,348+01		
4,8	$10^2 \div 10^3$	0,01	-1,222+01	1,899+01	-4,385+00		
4,8	$10^2 \div 10^3$	0,02	-1,042+01	1,711+01	-4,199+00		
4,8	$10^2 \div 10^3$	0,04	-1,124+01	1,771+01	-4,395+00		
4,8	$10^2 \div 10^3$	0,06	-1,191+01	1,821+01	-4,453+00		
4,8	$10^2 \div 10^3$	0,08	-7,268+00	1,428+01	-3,671+00		
4,8	$10^2 \div 10^3$	0,10	-8,885+00	1,544+01	-3,879+00		
4,8	$10^2 \div 10^3$	0,12	-9,521+00	1,586+01	-3,976+00		
4,8	$10^2 \div 10^3$	0,14	-7,833+01	1,446+01	-3,698+00		
4,8	$10^2 \div 10^3$	0,16	-9,884+00	1,631+01	-4,112+00		
4,8	$10^2 \div 10^3$	0,18	-1,134+01	1,700+01	-4,210+00		
4,8	$10^2 \div 10^3$	0,20	-9,461+00	1,560+01	-3,934+00		
4,8	$10^2 \div 10^3$	0,22	-7,305+00	1,360+01	-3,586+00		
4,8	$10^2 \div 10^3$	0,24	-3,538+00	1,058+01	-2,946+00		
4,8	$10^2 \div 10^3$	0,26	-8,268+00	1,428+01	-3,671+00		
4,8	$10^2 \div 10^3$	0,28	-6,491+00	1,242+01	-3,261+00		
4,8	$10^2 \div 10^3$	0,30	-4,732+00	1,079+01	-2,962+00		
4,8	$10^2 \div 10^3$	0,32	-2,009+00	7,993+00	-2,344+00		
4,8	$10^2 \div 10^3$	0,34	-8,826+00	1,264+01	-3,187+00		
4,8	$10^2 \div 10^3$	0,36	8,498+00	-2,792+00	9,926-03		
4,8	$10^2 \div 4 \cdot 10^3$	0,38	1,903+00	—	—		
4,8	$10^2 \div 4 \cdot 10^3$	0,40	1,000+00	—	—		
5,0	$10^2 \div 10^3$	0,002	-8,161+00	1,525+01	-3,685+00		
5,0	$10^2 \div 10^3$	0,005	-8,948+00	1,565+01	-3,923+00		
5,0	$10^2 \div 10^3$	0,010	-1,464+01	2,074+01	-4,959+00		
5,0	$10^2 \div 10^3$	0,020	-1,168+01	1,837+01	-4,529+00		
5,0	$10^2 \div 10^3$	0,040	-1,484+01	2,096+01	-5,076+00		
5,0	$10^2 \div 10^3$	0,050	-1,352+01	1,979+01	-4,868+00		
5,0	$10^2 \div 10^3$	0,080	-1,168+01	1,830+01	-4,580+00		
5,0	$10^2 \div 10^3$	0,10	-1,159+01	1,811+01	-4,541+00		

Продолжение табл. 2

<i>L</i>	<i>E</i> , кВ	$\frac{B_1}{ 0 - T_A }$	<i>A</i> <sub>1</sub>	<i>A</i> <sub>2</sub>	<i>A</i> <sub>3</sub>	<i>A</i> <sub>4</sub>	<i>A</i> <sub>5</sub>	<i>A</i> <sub>6</sub>
5.9	$10^2 \div 10^3$	0.12	$-1.276 + 0i$	$1.887 + 0i$	$-4.673 + 0i$			
5.9	$10^2 \div 10^3$	0.14	$-1.136 + 0i$	$1.777 + 0i$	$-4.468 + 0i$			
5.9	$10^2 \div 10^3$	0.16	$-1.339 + 0i$	$1.938 + 0i$	$-4.692 + 0i$			
5.9	$10^2 \div 10^3$	0.18	$-1.060 + 0i$	$1.684 + 0i$	$-4.272 + 0i$			
5.9	$10^2 \div 10^3$	0.20	$-1.280 + 0i$	$1.886 + 0i$	$-4.727 + 0i$			
5.9	$10^2 \div 10^3$	0.22	$-9.962 + 0i$	$1.652 + 0i$	$-4.282 + 0i$			
5.9	$10^2 \div 10^3$	0.24	$-1.135 + 0i$	$1.733 + 0i$	$-4.466 + 0i$			
5.9	$10^2 \div 10^3$	0.26	$-1.060 + 0i$	$1.677 + 0i$	$-4.310 + 0i$			
5.9	$10^2 \div 10^3$	0.28	$-1.002 + 0i$	$1.611 + 0i$	$-4.163 + 0i$			
5.9	$10^2 \div 10^3$	0.30	$-9.909 + 0i$	$1.606 + 0i$	$-4.226 + 0i$			
5.9	$10^2 \div 10^3$	0.32	$-8.133 + 0i$	$1.416 + 0i$	$-3.819 + 0i$			
5.9	$10^2 \div 10^3$	0.34	$-8.201 + 0i$	$1.361 + 0i$	$-3.679 + 0i$			
5.9	$10^2 \div 10^3$	0.36	$1.110 + 0i$	$-3.898 + 0i$	$-$			
5.9	$10^2 \div 10^3$	0.002	$-7.399 + 0i$	$1.470 + 0i$	$-3.598 + 0i$			
5.9	$10^2 \div 10^3$	0.005	$-6.239 + 0i$	$5.498 + 0i$	$-1.106 + 0i$			
5.9	$10^2 \div 10^3$	0.01	$-1.549 + 0i$	$2.169 + 0i$	$-5.216 + 0i$			
5.9	$10^2 \div 10^3$	0.02	$-6.490 + 0i$	$1.406 + 0i$	$-3.700 + 0i$			
5.9	$10^2 \div 10^3$	0.04	$-1.357 + 0i$	$2.002 + 0i$	$-4.945 + 0i$			
5.9	$10^2 \div 10^3$	0.06	$-1.500 + 0i$	$2.125 + 0i$	$-5.224 + 0i$			
5.9	$10^2 \div 10^3$	0.08	$-1.644 + 0i$	$2.238 + 0i$	$-5.461 + 0i$			
5.9	$10^2 \div 10^3$	0.10	$-1.428 + 0i$	$2.033 + 0i$	$-5.023 + 0i$			
5.9	$10^2 \div 10^3$	0.12	$-1.344 + 0i$	$1.976 + 0i$	$-4.945 + 0i$			
5.9	$10^2 \div 10^3$	0.14	$-2.123 + 0i$	$2.603 + 0i$	$-6.209 + 0i$			
5.9	$10^2 \div 10^3$	0.16	$-1.685 + 0i$	$2.236 + 0i$	$-5.469 + 0i$			
5.9	$10^2 \div 10^3$	0.18	$-9.995 + 0i$	$1.663 + 0i$	$-4.318 + 0i$			
5.9	$10^2 \div 10^3$	0.20	$-1.196 + 0i$	$1.833 + 0i$	$-4.674 + 0i$			
5.9	$10^2 \div 10^3$	0.22	$-1.337 + 0i$	$1.951 + 0i$	$-4.938 + 0i$			
5.9	$10^2 \div 10^3$	0.24	$-1.186 + 0i$	$1.812 + 0i$	$-4.652 + 0i$			
5.9	$10^2 \div 10^3$	0.26	$-1.369 + 0i$	$1.953 + 0i$	$-4.941 + 0i$			
5.9	$10^2 \div 10^3$	0.28	$-1.384 + 0i$	$1.948 + 0i$	$-4.955 + 0i$			
5.9	$10^2 \div 10^3$	0.30	$1.264 + 0i$	$-3.822 + 0i$	$-$			

Продолжение табл. 2

<i>L</i>	<i>E</i> , кВ	$\beta_1$	$\beta_2$	$A_1$	$A_2$	$A_3$	$A_4$	$A_5$	$A_6$
5,2	$10^3 \div 10^4$	0,32	1,271+01	-4,115+00	-	-	-	-	-
5,2	$10^3 \div 10^4$	0,34	1,297+01	-4,483+00	-	-	-	-	-
5,2	$10^3 \div 10^4$	0,36	1,097+01	-3,983+00	-	-	-	-	-
5,4	$10^3 \div 10^4$	0,002	-9,852+00	1,679+01	-4,065+00	-	-	-	-
5,4	$10^3 \div 10^4$	0,005	-5,929+01	5,272+01	-1,068+01	-	-	-	-
5,4	$10^3 \div 10^4$	0,01	-1,306+01	1,976+01	-4,888+00	-	-	-	-
5,4	$10^3 \div 10^4$	0,02	-1,180+01	1,868+01	-4,694+00	-	-	-	-
5,4	$10^3 \div 10^4$	0,04	-1,630+01	2,337+01	-5,463+00	-	-	-	-
5,4	$10^3 \div 10^4$	0,06	-1,677+01	2,276+01	-5,571+00	-	-	-	-
5,4	$10^3 \div 10^4$	0,08	-1,832+01	2,423+01	-5,919+00	-	-	-	-
5,4	$10^3 \div 10^4$	0,10	-1,733+01	2,323+01	-5,708+00	-	-	-	-
5,4	$10^3 \div 10^4$	0,12	-1,747+01	2,290+01	-5,582+00	-	-	-	-
5,4	$10^3 \div 10^4$	0,14	-1,888+01	2,416+01	-5,888+00	-	-	-	-
5,4	$10^3 \div 10^4$	0,16	-1,333+01	1,958+01	-4,958+00	-	-	-	-
5,4	$10^3 \div 10^4$	0,18	-1,515+01	2,112+01	-5,283+00	-	-	-	-
5,4	$10^3 \div 10^4$	0,20	-1,624+01	2,207+01	-5,500+00	-	-	-	-
5,4	$10^3 \div 10^4$	0,22	-1,575+01	2,159+01	-5,415+00	-	-	-	-
5,4	$10^3 \div 10^4$	0,24	-1,628+01	2,213+01	-5,570+00	-	-	-	-
5,4	$10^3 \div 10^4$	0,26	-1,704+01	2,246+01	-5,603+00	-	-	-	-
5,4	$10^3 \div 10^4$	0,28	-1,751+01	2,246+01	-5,603+00	-	-	-	-
5,4	$10^3 \div 10^4$	0,30	-1,367+01	-4,483+00	-	-	-	-	-
5,4	$10^3 \div 10^4$	0,32	1,305+01	-4,822+00	-	-	-	-	-
5,4	$10^3 \div 10^4$	0,34	1,146+01	-4,080+00	-	-	-	-	-
5,4	$10^3 \div 10^4$	0,36	1,125+01	-4,322+00	-	-	-	-	-
5,6	$10^3 \div 10^4$	0,002	-6,279+00	1,360+01	-3,409+00	-	-	-	-
5,6	$10^3 \div 10^4$	0,005	-5,959+01	5,272+01	-1,068+01	-	-	-	-
5,6	$10^3 \div 10^4$	0,01	-1,037+01	1,753+01	-4,463+00	-	-	-	-
5,6	$10^3 \div 10^4$	0,02	-1,268+01	1,942+01	-4,867+00	-	-	-	-
5,6	$10^3 \div 10^4$	0,04	-1,516+01	2,160+01	-5,363+00	-	-	-	-

Продолжение табл. 2

<i>L</i>	<i>E</i> , кВ	$\frac{B_1}{10^{-3} T_3}$	<i>A</i> <sub>1</sub>	<i>A</i> <sub>2</sub>	<i>A</i> <sub>3</sub>	<i>A</i> <sub>4</sub>	<i>A</i> <sub>5</sub>
5,6	$10^9 \div 10^8$	0,06	$-2,043 \pm 01$	$2,583 \pm 01$	$-6,232 \pm 00$		
5,6	$10^8 \div 10^7$	0,08	$-1,794 \pm 01$	$2,376 \pm 01$	$-5,821 \pm 00$		
5,6	$10^7 \div 10^6$	0,10	$-1,893 \pm 01$	$2,417 \pm 01$	$-5,851 \pm 00$		
5,6	$10^6 \div 10^5$	0,12	$-1,330 \pm 01$	$1,957 \pm 01$	$-4,963 \pm 00$		
5,6	$10^5 \div 10^4$	0,14	$-1,456 \pm 01$	$2,059 \pm 01$	$-5,307 \pm 00$		
5,6	$10^4 \div 10^3$	0,16	$-1,678 \pm 01$	$2,266 \pm 01$	$-5,598 \pm 00$		
5,6	$10^3 \div 10^2$	0,18	$-1,733 \pm 01$	$2,305 \pm 01$	$-5,719 \pm 00$		
5,6	$10^2 \div 10^1$	0,20	$-1,980 \pm 01$	$2,510 \pm 01$	$-6,167 \pm 00$		
5,6	$10^1 \div 10^0$	0,22	$-1,843 \pm 01$	$2,380 \pm 01$	$-5,894 \pm 00$		
5,6	$10^2 \div 10^3$	0,24	$-1,913 \pm 01$	$2,431 \pm 01$	$-6,004 \pm 00$		
5,6	$10^3 \div 10^4$	0,26	$-1,873 \pm 01$	$2,389 \pm 01$	$-5,894 \pm 00$		
5,6	$10^4 \div 10^5$	0,28	$-2,168 \pm 01$	$2,635 \pm 01$	$-6,503 \pm 00$		
5,6	$10^5 \div 10^6$	0,30	$1,340 \pm 01$	$-4,308 \pm 00$	$-$		
5,6	$10^6 \div 10^7$	0,32	$1,330 \pm 01$	$-4,726 \pm 00$	$-$		
5,6	$10^7 \div 10^8$	0,34	$1,038 \pm 01$	$-3,691 \pm 00$	$-$		
5,6	$10^8 \div 10^9$	0,36	$1,071 \pm 01$	$-4,116 \pm 00$	$-$		
5,8	$10^2 \div 10^3$	0,001	$-8,485 \pm 00$	$1,592 \pm 01$	$-3,864 \pm 00$		
5,8	$10^2 \div 10^3$	0,005	$-6,885 \pm 01$	$5,899 \pm 01$	$-1,172 \pm 01$		
5,8	$10^2 \div 10^3$	0,01	$-1,276 \pm 01$	$1,940 \pm 01$	$-4,835 \pm 00$		
5,8	$10^2 \div 10^3$	0,02	$-1,111 \pm 01$	$1,810 \pm 01$	$-4,621 \pm 00$		
5,8	$10^2 \div 10^3$	0,04	$-2,059 \pm 01$	$2,587 \pm 01$	$-6,212 \pm 00$		
5,8	$10^2 \div 10^3$	0,06	$-2,184 \pm 01$	$2,656 \pm 01$	$-6,322 \pm 00$		
5,8	$10^2 \div 10^3$	0,08	$-1,888 \pm 01$	$2,416 \pm 01$	$-5,858 \pm 00$		
5,8	$10^2 \div 10^3$	0,10	$-1,326 \pm 01$	$1,956 \pm 01$	$-4,968 \pm 00$		
5,8	$10^2 \div 10^3$	0,12	$-1,451 \pm 01$	$2,068 \pm 01$	$-5,214 \pm 00$		
5,8	$10^2 \div 10^3$	0,14	$-1,624 \pm 01$	$2,207 \pm 01$	$-5,500 \pm 00$		
5,8	$10^2 \div 10^3$	0,16	$-1,655 \pm 01$	$2,237 \pm 01$	$-5,584 \pm 00$		
5,8	$10^2 \div 10^3$	0,18	$-1,869 \pm 01$	$2,415 \pm 01$	$-5,977 \pm 00$		
5,8	$10^2 \div 10^3$	0,20	$-1,754 \pm 01$	$2,303 \pm 01$	$-5,731 \pm 00$		
5,8	$10^2 \div 10^3$	0,22	$-1,913 \pm 01$	$2,431 \pm 01$	$-6,004 \pm 00$		
5,8	$10^2 \div 10^3$	0,24	$-2,058 \pm 01$	$2,544 \pm 01$	$-6,251 \pm 00$		

Продолжение табл. 2

$L$	$E$ , кВ	$B$ , $T_2$	$A_1$	$A_2$	$A_3$	$A_4$	$A_5$	$A_6$
5,8	$10^2 \div 10^3$	0,26	$-1,751 + 0i$	$2,246 + 0i$	$-5,603 + 00$	$-5,603 + 00$	$-5,781 + 00$	
5,8	$10^2 \div 10^3$	0,28	$-1,764 + 0i$	$2,296 + 0i$	$-5,781 + 00$	$-5,781 + 00$	$-5,781 + 00$	
5,8	$10^2 \div 4 \cdot 10^3$	0,30	$1,322 + 0i$	$-4,372 + 00$				
5,8	$10^2 \div 4 \cdot 10^2$	0,32	$1,301 + 0i$	$-4,615 + 00$				
5,8	$10^2 \div 4 \cdot 10^2$	0,34	$1,038 + 0i$	$-3,899 + 00$				
5,8	$10^2 \div 4 \cdot 10^2$	0,36	$1,071 + 0i$	$-4,115 + 00$				
6,0	$10^2 \div 10^3$	0,001	$-6,315 + 00$	$1,385 + 01$	$-3,521 + 00$			
6,0	$10^2 \div 10^3$	0,005	$-4,726 + 01$	$4,405 + 01$	$-9,208 + 00$			
6,0	$10^2 \div 10^3$	0,01	$-1,350 + 01$	$2,003 + 01$	$-4,987 + 00$			
6,0	$10^2 \div 10^3$	0,02	$-1,117 + 01$	$1,812 + 01$	$-4,652 + 00$			
6,0	$10^2 \div 10^3$	0,04	$-1,357 + 01$	$2,010 + 01$	$-5,081 + 00$			
6,0	$10^2 \div 10^3$	0,06	$-2,081 + 01$	$2,585 + 01$	$-6,222 + 00$			
6,0	$10^2 \div 10^3$	0,08	$-1,451 + 01$	$2,068 + 01$	$-5,214 + 00$			
6,0	$10^2 \div 10^3$	0,10	$-1,737 + 01$	$2,302 + 01$	$-5,692 + 00$			
6,0	$10^2 \div 10^3$	0,12	$-1,655 + 01$	$2,237 + 01$	$-5,584 + 00$			
6,0	$10^2 \div 10^3$	0,14	$-1,869 + 01$	$2,415 + 01$	$-5,977 + 00$			
6,0	$10^2 \div 10^3$	0,16	$-1,843 + 01$	$2,380 + 01$	$-5,894 + 00$			
6,0	$10^2 \div 10^3$	0,18	$-1,913 + 01$	$2,421 + 01$	$-6,004 + 00$			
6,0	$10^2 \div 10^3$	0,20	$-1,873 + 01$	$2,380 + 01$	$-5,894 + 00$			
6,0	$10^2 \div 10^3$	0,22	$-1,333 + 01$	$1,941 + 01$	$-5,049 + 00$			
6,0	$10^2 \div 10^3$	0,24	$-1,778 + 01$	$2,282 + 01$	$-5,716 + 00$			
6,0	$10^2 \div 4 \cdot 10^3$	0,26	$1,134 + 01$	$-3,322 + 00$				
6,0	$10^2 \div 4 \cdot 10^3$	0,28	$1,271 + 01$	$-4,115 + 00$				
6,0	$10^2 \div 4 \cdot 10^3$	0,30	$1,277 + 01$	$-4,407 + 00$				
6,0	$10^2 \div 4 \cdot 10^3$	0,32	$1,195 + 01$	$-4,322 + 00$				
6,0	$10^2 \div 4 \cdot 10^3$	0,34	$1,071 + 01$	$-3,934 + 00$				
6,2	$10^2 \div 10^3$	0,001	$-6,378 + 00$	$1,360 + 01$	$-3,457 + 00$			
6,2	$10^2 \div 10^3$	0,005	$-4,262 + 01$	$4,075 + 01$	$-8,649 + 00$			
6,2	$10^2 \div 10^3$	0,01	$-1,431 + 01$	$2,069 + 01$	$-5,149 + 00$			
6,2	$10^2 \div 10^3$	0,02	$-1,295 + 01$	$1,956 + 01$	$-4,968 + 00$			

Продолжение табл. 2

<i>L</i>	<i>E</i> , кВ	$B_{\perp Y_A}$	$A_1$	$A_2$	$A_3$	$A_4$	$A_5$
6,2	$10^2 \div 10^3$	0,04	$-1,230 + 0i$	$1,867 + 0i$	$-4,750 + 0i$		
6,2	$10^2 \div 10^3$	0,06	$-1,678 + 0i$	$2,256 + 0i$	$-5,593 + 0i$		
6,2	$10^2 \div 10^3$	0,08	$-1,808 + 0i$	$2,359 + 0i$	$-5,816 + 0i$		
6,2	$10^2 \div 10^3$	0,10	$-2,082 + 0i$	$2,583 + 0i$	$-6,289 + 0i$		
6,2	$10^2 \div 10^3$	0,12	$-1,754 + 0i$	$2,383 + 0i$	$-5,731 + 0i$		
6,2	$10^2 \div 10^3$	0,14	$-1,802 + 0i$	$2,333 + 0i$	$-5,791 + 0i$		
6,2	$10^2 \div 10^3$	0,16	$-1,721 + 0i$	$2,266 + 0i$	$-5,603 + 0i$		
6,2	$10^2 \div 10^3$	0,18	$-1,333 + 0i$	$1,941 + 0i$	$-5,049 + 0i$		
6,2	$10^2 \div 10^3$	0,20	$-2,088 + 0i$	$2,544 + 0i$	$6,251 + 0i$		
6,2	$10^2 \div 10^3$	0,22	$-1,238 + 0i$	$-3,691 + 0i$			
6,2	$10^2 \div 4 \cdot 10^3$	0,24	$1,201 + 0i$	$3,615 + 0i$			
6,2	$10^2 \div 4 \cdot 10^3$	0,26	$1,096 + 0i$	$-3,322 + 0i$			
6,2	$10^2 \div 4 \cdot 10^3$	0,28	$1,197 + 0i$	$-3,989 + 0i$			
6,2	$10^2 \div 4 \cdot 10^3$	0,30	$1,186 + 0i$	$-4,191 + 0i$			
6,2	$10^2 \div 4 \cdot 10^3$	0,32	$1,177 + 0i$	$-4,407 + 0i$			
6,2	$10^2 \div 4 \cdot 10^3$	0,34	$1,071 + 0i$	$-4,115 + 0i$			
6,4	$10^2 \div 10^3$	0,001	$-7,887 + 0i$	$1,492 + 0i$	$-3,754 + 0i$		
6,4	$10^2 \div 10^3$	0,005	$-4,062 + 0i$	$3,927 + 0i$	$-8,399 + 0i$		
6,4	$10^2 \div 10^3$	0,01	$-1,639 + 0i$	$2,233 + 0i$	$-5,490 + 0i$		
6,4	$10^2 \div 10^3$	0,02	$-9,288 + 0i$	$1,608 + 0i$	$-4,216 + 0i$		
6,4	$10^2 \div 10^3$	0,04	$-1,515 + 0i$	$2,112 + 0i$	$-5,283 + 0i$		
6,4	$10^2 \div 10^3$	0,06	$-1,895 + 0i$	$2,422 + 0i$	$-5,927 + 0i$		
6,4	$10^2 \div 10^3$	0,08	$-2,019 + 0i$	$2,544 + 0i$	$-6,251 + 0i$		
6,4	$10^2 \div 8 \cdot 10^3$	0,10	$-1,616 + 0i$	$2,169 + 0i$	$-5,435 + 0i$		
6,4	$10^2 \div 8 \cdot 10^3$	0,12	$-1,476 + 0i$	$2,068 + 0i$	$-5,279 + 0i$		
6,4	$10^2 \div 8 \cdot 10^3$	0,14	$-2,058 + 0i$	$2,544 + 0i$	$-6,251 + 0i$		
6,4	$10^2 \div 8 \cdot 10^3$	0,16	$-1,751 + 0i$	$2,246 + 0i$	$-5,603 + 0i$		
6,4	$10^2 \div 8 \cdot 10^3$	0,18	$-2,518 + 0i$	$2,930 + 0i$	$-7,106 + 0i$		
6,4	$10^2 \div 4 \cdot 10^3$	0,20	$1,223 + 0i$	$-3,561 + 0i$			
6,4	$10^2 \div 4 \cdot 10^3$	0,22	$1,208 + 0i$	$-3,691 + 0i$			
6,4	$10^2 \div 4 \cdot 10^3$	0,24	$1,271 + 0i$	$-4,115 + 0i$			

Продолжение табл. 2

<i>L</i>	<i>E</i> , кэВ	$\frac{B_z}{(0^{-1}) T_B}$	<i>A</i> <sub>1</sub>	<i>A</i> <sub>2</sub>	<i>A</i> <sub>3</sub>	<i>A</i> <sub>4</sub>	<i>A</i> <sub>5</sub>
6,4	$10^4 \div 4 \cdot 10^4$	0,26	1,064+01	-3,322+00			
6,4	$10^4 \div 4 \cdot 10^4$	0,28	1,230+01	-4,226+00			
6,4	$10^4 \div 4 \cdot 10^4$	0,30	1,203+01	-4,276+00			
6,4	$10^4 \div 4 \cdot 10^4$	0,32	1,177+01	-4,407+00			
6,4	$10^4 \div 4 \cdot 10^4$	0,34	1,071+01	4,115+00			
6,6	$10^2 \div 10^3$	0,001	-4,115+00	1,172+01	-3,107+00		
6,6	$10^2 \div 10^3$	-0,005	-3,870+01	3,789+01	-8,165+00		
6,6	$10^2 \div 10^3$	0,01	-2,123+01	2,603+00	-6,209+00		
6,6	$10^2 \div 10^3$	0,02	-1,051+01	1,719+01	-4,465+00		
6,6	$10^2 \div 10^3$	0,04	-1,658+01	2,217+01	-5,493+00		
6,6	$10^2 \div 10^3$	0,06	-1,995+01	2,505+01	-6,138+00		
6,6	$10^2 \div 10^3$	0,08	-1,802+01	2,333+01	-5,791+00		
6,6	$10^2 \div 8 \cdot 10^3$	0,10	-1,873+01	2,380+01	-5,894+00		
6,6	$10^2 \div 8 \cdot 10^3$	0,12	-1,751+01	2,246+01	-5,603+00		
6,6	$10^2 \div 8 \cdot 10^3$	0,14	-2,088+01	2,544+01	-6,251+00		
6,6	$10^2 \div 8 \cdot 10^3$	0,16	-2,232+01	2,681+01	-6,588+00		
6,6	$10^2 \div 4 \cdot 10^3$	0,18	1,201+01	3,615+00	-		
6,6	$10^2 \div 4 \cdot 10^3$	0,20	1,267+01	3,983+00	-		
6,6	$10^2 \div 4 \cdot 10^3$	0,22	1,271+01	-4,115+00	-		
6,6	$10^2 \div 4 \cdot 10^3$	0,24	1,268+01	-4,191+00			
6,6	$10^2 \div 4 \cdot 10^3$	0,26	1,238+01	-4,191+00			
6,6	$10^2 \div 4 \cdot 10^3$	0,28	1,301+01	-4,615+00			
6,6	$10^2 \div 4 \cdot 10^3$	0,30	1,146+01	-4,090+00			
6,6	$10^2 \div 4 \cdot 10^3$	0,32	1,138+01	-4,191+00			
6,6	$10^2 \div 4 \cdot 10^3$	0,34	1,167+01	-4,483+00			

Примечания к табл. 1 и 2:

1. Подчеркнуты значения индукции геомагнитного поля *B* на экваторе *L*-оболочки.  
 2. Две последние цифры со знаком «+» или «-» определяются порядком стоящего слова десятичного числа.

Таблица 3

**Коэффициенты для расчета пространственного распределения плотности потока протонов в плоскости геомагнитного экватора в фазе максимума 11-летнего цикла**

$E, \text{ кэВ}$	$L_{\text{диполь}}$ всё более	$C_1$	$C_2$	$C_3$	$C_4$	$C_5$
$1 \cdot 10^3$	3,0	-2,803+01	5,301+01	-3,147+01	8,776+00	-9,416-01
$4 \cdot 10^2$	3,0	-3,164+01	6,126+01	-3,775+01	1,078+01	-1,175+00
$8 \cdot 10^2$	3,0	-2,398+01	4,727+01	-2,967+01	9,025+00	-1,070+00
$1 \cdot 10^3$	3,0	-3,885+01	7,448+01	-4,628+01	1,296+01	-1,363+00
$4 \cdot 10^3$	3,0	-3,731+01	7,026+01	-4,188+01	1,103+01	-1,101+00
$8 \cdot 10^3$	3,0	-5,003+01	9,679+01	-6,162+01	1,716+01	-1,793+00
$1 \cdot 10^4$	3,0	-5,899+01	1,177+02	-7,893+01	2,317+01	-2,544+00
$2 \cdot 10^4$	3,0	-3,983+01	8,039+01	-5,240+01	1,477+01	-1,562+00
$5 \cdot 10^4$	2,8	-6,050+01	1,276+02	-9,078+01	2,775+01	-3,152+00
$1 \cdot 10^5$	2,4	-3,085+01	5,720+01	-2,995+01	4,854+00	—
$2 \cdot 10^5$	2,2	-3,967+01	7,497+01	-4,159+01	7,224+00	—
$4 \cdot 10^5$	2,0	-4,286+01	2,126+01	-7,312+00	—	—

Таблица 4

**Коэффициенты для расчета пространственного распределения плотности потока протонов в плоскости геомагнитного экватора в фазе минимума 11-летнего цикла**

$E, \text{ кВ}$	$L_1, \text{ не более}$	Диапазон	$C_1$	$C_2$	$C_3$	$C_4$	$C_5$
$1 \cdot 10^2$	6,6	$-9,487 + 00$	$1,679 + 01$	$-5,595 + 00$	$7,879 - 01$	$-4,075 - 02$	
$4 \cdot 10^2$	6,6	$-8,603 + 00$	$1,555 + 01$	$-5,069 + 00$	$6,813 - 01$	$-3,368 - 02$	
$8 \cdot 10^2$	6,6	$-7,569 + 00$	$1,408 + 01$	$-4,215 + 00$	$5,034 - 01$	$-2,015 - 02$	
$1 \cdot 10^3$	6,6	$-7,647 + 00$	$1,419 + 01$	$-4,352 + 00$	$4,971 - 01$	$-1,914 - 02$	
$4 \cdot 10^3$	4,2	$-2,200 + 01$	$4,012 + 01$	$-2,047 + 01$	$4,527 + 00$	$-3,841 - 01$	
$8 \cdot 10^3$	3,6	$-3,058 + 01$	$5,814 + 01$	$-3,359 + 01$	$8,384 + 00$	$-7,915 - 01$	
$1 \cdot 10^4$	3,6	$-3,085 + 01$	$5,928 + 01$	$-3,495 + 01$	$8,906 + 00$	$-8,586 - 01$	
$2 \cdot 10^4$	3,2	$-9,551 + 01$	$7,274 + 01$	$-4,759 + 01$	$1,346 + 01$	$-1,433 + 00$	
$5 \cdot 10^4$	2,5	$-4,494 + 01$	$9,535 + 01$	$-6,642 + 01$	$1,982 + 01$	$-2,210 + 00$	
$1 \cdot 10^5$	2,4	$-2,477 + 01$	$4,764 + 01$	$-2,499 + 01$	$4,010 + 00$	$\dots$	
$2 \cdot 10^5$	2,2	$-3,597 + 01$	$6,874 + 01$	$-3,814 + 01$	$6,595 + 00$	$\dots$	
$4 \cdot 10^5$	2,0	$-3,840 + 01$	$7,440 + 01$	$-4,281 + 01$	$7,667 + 00$	$\dots$	
$6 \cdot 10^5$	1,6	$-1,034 + 00$	$1,495 + 00$	$-5,750 - 01$	$\dots$	$\dots$	
$1 \cdot 10^6$	1,6	$-2,219 + 00$	$5,720 + 00$	$-2,200 + 00$	$\dots$	$\dots$	

Приложение к табл. 3—4. Две последние цифры со знаком «+» или «-» определяют порядок стоящего слова десятичного числа.

## ПРИЛОЖЕНИЕ I

Рекомендуемое

МЕТОД РАСЧЕТА ГЕОМАГНИТНЫХ  $L$ ,  $B$ -КООРДИНАТ

1. Значения индукции геомагнитного поля  $B$ , Тл определяют по ГОСТ 25645.126—85.

2. Значения параметра дрейфовой оболочки  $L$  вычисляют из соотношения

$$\ln\left(\frac{L^2B}{M} - 1\right) = \sum_{n=0}^{n=9} a_n X^n,$$

где  $M$  — магнитный момент Земли, равный  $7,91 \cdot 10^{-4}$  Тл·м<sup>2</sup>;

$a_n$  — коэффициенты, значения которых для различных интервалов  $X$  приведены в табл. 1;

$X$  — параметр, значения которого вычисляют по формуле

$$X = \ln \frac{I^2 B}{M};$$

$I$  — второй адиабатический инвариант движения, вычисляемый по формуле

$$I = \int_A^{A'} \sqrt{1 - \frac{B_1}{B}} dS;$$

$A$  — точка пространства, для которой вычисляется значение  $I$ ;

$A'$  — сопряженная точка отражения;

$B$  — значение индукции геомагнитного поля в точке  $A$ ;

$B_1$  — значение индукции геомагнитного поля вдоль магнитной силовой линии;

$dS$  — элемент длины магнитной силовой линии, связывающей точки  $A$  и  $A'$ .

3. Значения параметров  $L$  и  $B$  для ряда точек околоземного пространства с заданными значениями географических широты, долготы и высоты над поверхностью Земли для эпохи 1985 г. приведены в табл. 2.

Таблица 1

$X \leq -22$	$-22 < X \leq -3$		$-3 < X \leq 3$		$3 < X \leq 11.7$		$11.7 < X \leq 23$		$X > 23$	
	$a_0$	$a_1$	$a_2$	$a_3$	$a_4$	$a_5$	$a_6$	$a_7$	$a_8$	$a_9$
3.0062102—01	6.2337691—01	6.2286440—01	6.2223550—01	6.2007187—00	—3.0460681—00					
3.3333800—01	4.3432642—01	4.3352768—01	4.3510529—01	—1.8461796—01	1					
0	1.5017245—02	1.4492441—02	1.2817956—02	1.203224—01	0					
0	1.3714687—03	1.1784234—03	2.1680398—03	—6.7310339—03	0					
0	8.2711046—05	3.8379917—04	—3.2077032—04	2.170224—04	0					
0	3.2916354—06	—3.3408822—06	7.9451313—05	—3.8049276—06	0					
0	8.1048663—08	—5.3977642—07	—1.2531932—06	2.8212995—08	0					
0	1.00665382—09	—2.1997583—08	9.9766148—07	0	0					
0	8.3232531—13	2.3028757—09	—3.9583060—08	0	0					
0	—8.1537735—14	2.6047023—10	6.3271665—10	0	0					

Приимечание. Две последние цифры со знаком «+» или «—» определяют порядок стоящего слева десятичного числа.

Таблица 2

Широта	Долгота	Высота, км	<i>L</i>	$\frac{B}{10^{-4}}$ Тл
90°	0°	360	54,8954	0,4918
60	0	350	5,7993	0,4335
30	0	350	1,2385	0,3370
0	0	350	1,0954	0,2591
-30	0	350	1,6762	0,2400
-60	0	350	3,1802	0,2936
-90	0	350	14,2621	0,4833
90	60	360	54,8952	0,4918
60	60	350	3,1843	0,4773
30	60	350	1,2199	0,3850
0	60	350	1,0289	0,3033
-30	60	350	1,7605	0,3326
-60	60	350	5,7899	0,4015
-90	60	350	14,2622	0,4833
90	120	360	54,8952	0,4918
60	120	350	2,9141	0,5094
30	120	350	1,1589	0,3976
0	120	350	1,0027	0,3473
-30	120	350	1,8352	0,4870
-60	120	350	15,5899	0,5556
-90	120	350	14,2622	0,4833
90	180	360	54,8953	0,4918
60	180	350	3,1161	0,4527
30	180	350	1,2704	0,3198
0	180	350	1,0310	0,2939
-30	180	350	1,5311	0,4228
-60	180	350	5,7810	0,5365
-90	180	350	14,2622	0,4833
90	240	360	54,8956	0,4918
60	240	350	6,3679	0,5058
30	240	350	1,5952	0,3945
0	240	350	1,0629	0,2714
-30	240	350	1,2609	0,3164
-60	240	350	2,6867	0,4430
-90	240	350	14,2621	0,4833
90	300	360	8,1156	0,4869
60	300	350	1,8508	0,3932
30	300	350	1,1768	0,2522
0	300	350	1,2296	0,2099
-30	300	350	2,1656	0,3167
-60	300	350	14,2621	0,4833
-90	300	350	14,2621	0,4833
0	0	1000	1,2035	0,1894
30	0	1000	1,3959	0,2519
60	0	1000	4,2173	0,3354
0	0	2000	1,3679	0,1255
30	0	2000	1,6332	0,1702
60	0	2000	6,8700	0,2395
0	0	5000	1,8527	0,0492

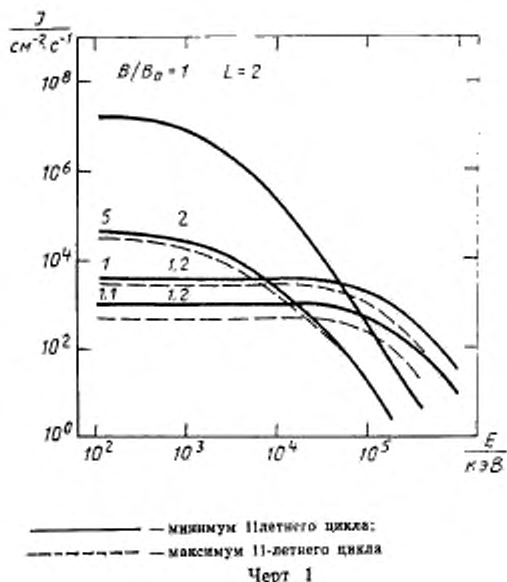
## Продолжение табл. 2

Широта	Долгота	Высота, км	<i>L</i>	$\frac{B}{10^{-4}}$ Тл
30°	0°	5000	2,3289	0,0678
60	0	5000	6,8868	0,0954
0	0	10000	2,6512	0,0167
30	0	10000	3,4775	0,0231
60	0	10000	10,3395	0,0323
0	0	20000	4,2395	0,0041
30	0	20000	5,7382	0,0056
60	0	20000	17,3342	0,0078
0	0	30000	5,8250	0,0016
30	0	30000	7,9870	0,0022
60	0	30000	24,3617	0,0030
0	0	50000	8,9942	0,0004
30	0	50000	12,5054	0,0006
60	0	50000	38,4569	0,0008

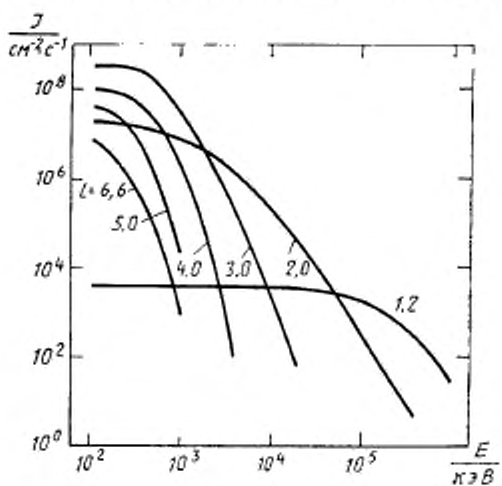
ПРИЛОЖЕНИЕ 2  
Справочное

**ДАННЫЕ ДЛЯ ПРИБЛИЖЕННЫХ ОЦЕНОК ЭНЕРГЕТИЧЕСКИХ  
И ПРОСТРАНСТВЕННЫХ РАСПРЕДЕЛЕНИЙ ПЛОТНОСТИ  
ПОТОКА ПРОТОНОВ**

1. Энергетическое распределение плотности потока протонов на дрейфовых оболочках с параметром  $L=2$  для  $B/B_0=1$ ; 5 и параметром  $L=1$ , 2 — для  $B/B_0=1$ ; 1.1 в фазах минимума и максимума 11-летнего цикла приведено на черт. 1, где  $B_0$  — индукция геомагнитного поля на экваторе дрейфовой оболочки.

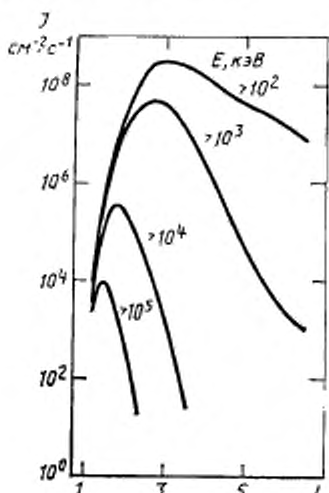


2. Энергетическое распределение плотности потока протонов на дрейфовых оболочках с параметром  $L = 6,6; 5,0; 4,0; 3,0; 2,0; 1,2$  в плоскости геомагнитного экватора в фазе минимума 11-летнего цикла приведено на черт. 2.



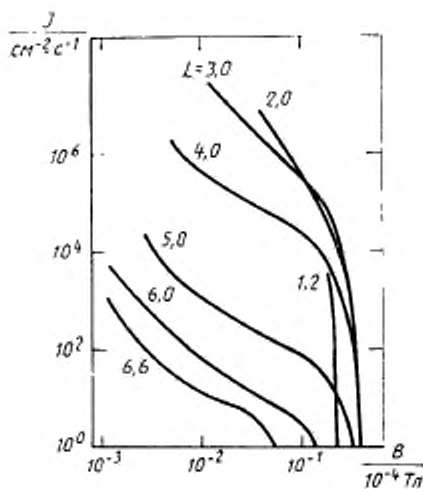
Черт. 2

3. Пространственное распределение плотности потока протонов с энергией  $E \geq 10^2$ ;  $\geq 10^3$ ;  $\geq 10^4$ ;  $\geq 10^5$  кэВ в плоскости геомагнитного экватора в фазе минимума 11-летнего цикла приведено на черт. 3.



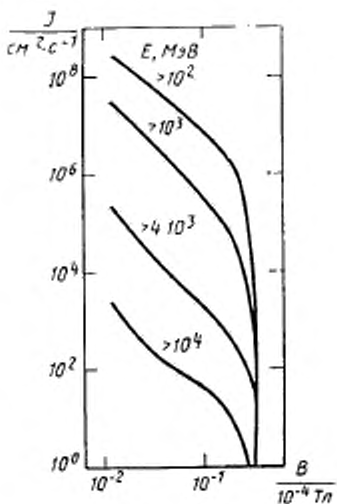
Черт. 3

4. Зависимость плотности потока протонов с энергией  $E \geq 10^3$  кэВ от величины индукции геомагнитного поля  $B$  на дрейфовых оболочках с параметром  $L = 6,6; 6,0; 5,0; 4,0; 3,0; 2,0; 1,2$  в фазе минимума 11-летнего цикла приведена на черт. 4.



Черт. 4

5. Зависимость плотности потока протонов с энергией  $E \geq 10^2; \geq 10^3;$   
 $\geq 4 \cdot 10^3; \geq 10^4$  кэВ на дрейфовой оболочке с параметром  $L=3$  в фазе минимума  
 11-летнего цикла приведена на черт. 5.



Черт. 5

Редактор *М. Е. Искандарян*  
Технический редактор *Э. В. Митяй*  
Корректор *Л. В. Сницарчук*

Сдано в наб. 13.03.90 Подп. в печ. 25.05.90 2.25 усл. л. л. 2,375 усл. кр.-отт. 2,52 уч.-изд. л.  
2545.136-86 Тир. 3000 Цена 15 к.

---

Ордена «Знак Почета» Издательство стандартов, 123857, Москва, ГСП,  
Новопресненский пер., д. 3  
Вильнюсская типография Издательства стандартов, ул. Даряус и Гирено, 39. Зак. 438.